

Temat: Świnoujście, infrastruktura węzła przesiadkowego				
Wyniki sondowania DPL przy otworze nr 1				
Rzędna 1,79 m n.p.m.				
Głęb. spągu przelotu	Rodzaj gruntu	Ilość uderzeń N10	Wartość ID	ID średnie
0,1	Mg	4		
0,2		8		
0,3		13		
0,4		16		
0,5		18		
0,6		24		
0,7		38		
0,8		30		
0,9		28		
1,0		26		
1,1		24		
1,2		23		
1,3	FSa	20	0,488	
1,4		19	0,504	
1,5		21	0,514	0,502
Wyniki sondowania DPL przy otworze nr 2				
Rzędna 1,72 m n.p.m.				
Głęb. spągu przelotu	Rodzaj gruntu	Ilość uderzeń N10	Wartość ID	ID średnie
0,1	bet+podś	1		
0,2		1		
0,3		9		
0,4	Mg(FSa)	12	0,431	
0,5		14	0,448	
0,6		15	0,456	
0,7		17	0,470	
0,8		18	0,476	
0,9		19	0,482	
1,0		19	0,482	
1,1		21	0,494	
1,2		22	0,499	
1,3		22	0,499	
1,4		23	0,504	0,476
1,5	bet	39		
Wyniki sondowania DPL przy otworze nr 3				
Rzędna 1,58 m n.p.m.				
Głęb. spągu przelotu	Rodzaj gruntu	Ilość uderzeń N10	Wartość ID	ID średnie
0,1	asf+bet	1		
0,2		1		
0,3		1		
0,4	Mg(FSa)	8	0,385	
0,5		10	0,410	
0,6		12	0,431	
0,7		13	0,440	
0,8		14	0,448	
0,9		15	0,456	
1,0		14	0,448	
1,1		16	0,463	
1,2		15	0,456	
1,3		13	0,440	
1,4		14	0,448	
1,5		13	0,440	
1,6	zw. wody	12	0,431	
1,7		10	0,440	0,438
1,8	FSa	11	0,450	
1,9		13	0,466	
2,0		14	0,474	
2,1		16	0,487	
2,2		15	0,481	
2,3		16	0,487	
2,4		16	0,487	
2,5		18	0,499	
2,6		19	0,504	
2,7		20	0,509	
2,8		21	0,514	
2,9		22	0,519	
3,0		22	0,519	0,492

Temat: Świnoujście, infrastruktura węzła przesiadkowego				
Wyniki sondowania DPL przy otworze nr 4				
Rzędna 1,72 m n.p.m.				
Głęb. spągu przelotu	Rodzaj gruntu	Ilość uderów N10	Wartość ID	ID średnie
0,1	bet+Pods	1		
0,2		1		
0,3	Mg	19		
0,4		24		
0,5		21		
0,6	Mg(FSa)	18	0,476	
0,7		18	0,476	
0,8		16	0,463	
0,9		16	0,463	
1,0		15	0,456	
1,1		14	0,448	
1,2		15	0,456	
1,3		14	0,448	
1,4		12	0,458	
1,5		10	0,440	0,458
Wyniki sondowania DPL przy otworze nr 5				
Rzędna 2,02 m n.p.m.				
Głęb. spągu przelotu	Rodzaj gruntu	Ilość uderów N10	Wartość ID	ID średnie
0,1	bet+Pods	1		
0,2		1		
0,3	Mg(FSa)	9		
0,4		12	0,431	
0,5		16	0,463	
0,6		19	0,482	
0,7		18	0,476	
0,8		18	0,476	
0,9		19	0,482	
1,0		17	0,470	
1,1		13	0,440	
1,2		11	0,421	0,460
1,3	FSa	9	0,398	
1,4		8	0,385	
1,5		8	0,385	0,389
Wyniki sondowania DPL przy otworze nr 6				
Rzędna 2,03 m n.p.m.				
Głęb. spągu przelotu	Rodzaj gruntu	Ilość uderów N10	Wartość ID	ID średnie
0,1	bet+Pods	1		
0,2		1		
0,3	FSa	7		
0,4		9	0,398	
0,5		9	0,398	
0,6		7	0,370	0,389
0,7	FSa	5	0,332	
0,8		4	0,307	
0,9		4	0,307	
1,0		4	0,307	
1,1		4	0,307	
1,2		4	0,307	
1,3		4	0,307	
1,4		4	0,307	
1,5		4	0,307	
1,6		4	0,307	
1,7		4	0,307	
1,8		4	0,307	0,309
1,9	FSa	6	0,352	
2,0	zw. wody	7	0,370	
2,1		8	0,418	
2,2		8	0,418	
2,3		8	0,418	
2,4		7	0,404	
2,5		6	0,389	0,396
2,6	FSa	4	0,348	
2,7		4	0,348	0,348
2,8	FSa	7	0,404	
2,9		8	0,418	
3,0		11	0,450	
3,1		10	0,440	
3,2		12	0,458	
3,3		15	0,481	
3,4		17	0,493	
3,5		19	0,504	0,456

Temat: Świnoujście, infrastruktura węzła przesiadkowego				
Wyniki sondowania DPL przy otworze nr 7				
Rzędna 1,59 m n.p.m.				
Głęb. spągu przelotu	Rodzaj gruntu	Ilość uderów N10	Wartość ID	ID średnie
0,1	asf+bet	1		
0,2		1		
0,3		1		
0,4	Mg(FSa)	10	0,410	
0,5		12	0,431	
0,6		13	0,440	
0,7		15	0,456	
0,8		14	0,448	
0,9		17	0,470	
1,0		19	0,482	
1,1		20	0,488	
1,2		21	0,494	
1,3		22	0,499	
1,4		22	0,499	
1,5		23	0,504	0,468

Temat: Świnoujście, infrastruktura węzła przesiadkowego				
Wyniki sondowania DPL przy otworze nr 8				
Rzędna 1,62 m n.p.m.				
Głęb. spągu przelotu	Rodzaj gruntu	Ilość uderów N10	Wartość ID	ID średnie
0,1	asf+gruz	1		
0,2		1		
0,3		1		
0,4	Mg	3		
0,5		5		
0,6		6		
0,7		7		
0,8		6		
0,9		7		
1,0		6		
1,1		6		
1,2	FSa	8	0,385	
1,3		8	0,385	
1,4		9	0,398	
1,5		9	0,398	
1,6	zw. wody	9	0,398	
1,7		8	0,418	
1,8		8	0,418	
1,9		8	0,418	
2,0		7	0,404	
2,1		6	0,389	0,401
2,2	FSa	4	0,348	
2,3		4	0,348	
2,4		4	0,348	
2,5		4	0,348	
2,6		4	0,348	
2,7		4	0,348	
2,8		4	0,348	
2,9		4	0,348	
3,0		4	0,348	
3,1		4	0,348	
3,2		4	0,348	
3,3		4	0,348	
3,4		4	0,348	
3,5		4	0,348	
3,6		4	0,348	
3,7		4	0,348	
3,8		4	0,348	
3,9		4	0,348	
4,0		4	0,348	
4,1		4	0,348	
4,2		4	0,348	
4,3		4	0,348	
4,4		4	0,348	
4,5		4	0,348	
4,6		4	0,348	
4,7		4	0,348	
4,8		4	0,348	
4,9		4	0,348	
5,0		4	0,348	
5,1		4	0,348	
5,2		4	0,348	
5,3		4	0,348	
5,4		4	0,348	
5,5		4	0,348	
5,6		4	0,348	
5,7		4	0,348	0,348
5,8	FSa	7	0,404	
5,9		9	0,429	
6,0		10	0,440	
6,1		11	0,450	
6,2		11	0,450	
6,3		12	0,458	
6,4		10	0,440	
6,5		12	0,458	
6,6		13	0,466	
6,7		14	0,474	
6,8		15	0,481	
6,9		16	0,487	
7,0		15	0,481	
7,1		17	0,493	
7,2		17	0,493	
7,3		18	0,499	
7,4		19	0,504	
7,5		20	0,509	
7,6		20	0,509	
7,7		21	0,514	
7,8		22	0,519	
7,9		22	0,519	
8,0		23	0,523	0,478

Temat: Świnoujście, infrastruktura węzła przesiadkowego				
Wyniki sondowania DPL przy otworze nr 9				
Rzędna 1,68 m n.p.m.				
Głęb. spągu przelotu	Rodzaj gruntu	Ilość uderów N10	Wartość ID	ID średnie
0,1	asf+gruz	1		
0,2		1		
0,3		1		
0,4	Mg(FSa)	7	0,370	
0,5		8	0,385	
0,6		8	0,385	
0,7		8	0,385	
0,8		9	0,398	
0,9		8	0,385	
1,0		9	0,398	
1,1		8	0,385	
1,2		7	0,370	
1,3		8	0,385	
1,4		9	0,398	
1,5		9	0,398	
1,6		10	0,410	
1,7	zw. wody	11	0,421	
1,8		9	0,429	
1,9		9	0,429	
2,0		8	0,418	0,397
2,1	FSa	4	0,348	
2,2		4	0,348	
2,3		4	0,348	
2,4		4	0,348	
2,5		4	0,348	
2,6		4	0,348	
2,7		3	0,320	
2,8		4	0,348	
2,9		3	0,320	
3,0		3	0,320	
3,1		3	0,320	
3,2		3	0,320	
3,3		3	0,320	
3,4		3	0,320	
3,5		3	0,320	
3,6		4	0,348	
3,7		3	0,320	
3,8		3	0,320	
3,9		3	0,320	
4,0		3	0,320	
4,1		3	0,320	
4,2		4	0,348	
4,3		4	0,348	
4,4		4	0,348	
4,5		4	0,348	
4,6		4	0,348	
4,7		4	0,348	
4,8		4	0,348	
4,9		4	0,348	
5,0		4	0,348	
5,1		4	0,348	0,336
5,2	FSa	6	0,389	
5,3		7	0,404	
5,4		7	0,404	
5,5		9	0,429	
5,6		8	0,418	
5,7		9	0,429	
5,8		9	0,429	
5,9		10	0,440	
6,0		9	0,429	
6,1		10	0,440	
6,2		11	0,450	
6,3		11	0,450	
6,4		12	0,458	
6,5		12	0,458	
6,6		11	0,450	
6,7		10	0,440	
6,8		11	0,450	
6,9		12	0,458	
7,0		12	0,458	
7,1		13	0,466	
7,2		13	0,466	
7,3		14	0,474	
7,4		14	0,474	
7,5		15	0,481	
7,6		16	0,487	
7,7		16	0,487	
7,8		16	0,487	
7,9		17	0,493	
8,0		18	0,499	0,452

Temat: Świnoujście, infrastruktura węzła przesiadkowego				
Wyniki sondowania DPL przy otworze nr 10				
Rzędna 2,28 m n.p.m.				
Głęb. spągu przelotu	Rodzaj gruntu	Ilość uderów N10	Wartość ID	ID średnie
0,1	Mg	2		
0,2		3		
0,3		4		
0,4		4		
0,5	Mg(FSa)	4	0,307	
0,6		4	0,307	
0,7		4	0,307	
0,8		4	0,307	
0,9		4	0,307	
1,0		4	0,307	
1,1		5	0,332	
1,2		5	0,332	
1,3		5	0,332	
1,4		5	0,332	0,317
1,5	FSa	7	0,370	
1,6		8	0,385	
1,7		10	0,410	
1,8		10	0,410	
1,9		9	0,398	
2,0		10	0,410	
2,1		11	0,421	
2,2		11	0,421	
2,3	zw. wody	11	0,421	
2,4		9	0,429	
2,5		8	0,418	
2,6		6	0,389	0,407
2,7	FSa	4	0,348	
2,8		4	0,348	
2,9		3	0,320	
3,0		3	0,320	
3,1		3	0,320	
3,2		3	0,320	
3,3		3	0,320	
3,4		3	0,320	
3,5		3	0,320	
3,6		3	0,320	
3,7		4	0,348	
3,8		4	0,348	0,329
3,9	FSa	7	0,404	
4,0		9	0,429	
4,1		10	0,440	
4,2		11	0,450	
4,3		11	0,450	
4,4		12	0,458	
4,5		13	0,466	
4,6		15	0,481	
4,7		15	0,481	
4,8		16	0,487	
4,9		16	0,487	
5,0		17	0,493	0,460

BARG - ARTGEO Sp. z o. o.
ul. Chmielewskiego 13
71-028 Szczecin

Załącznik 41

Temat: Świnoujście, infrastruktura węzła przesiadkowego				
Wyniki sondowania DPL przy otworze nr 11				
Rzędna 1,90 m n.p.m.				
Głęb. spągu przelotu	Rodzaj gruntu	Ilość uderzeń N10	Wartość ID	ID średnie
0,1	bet+Pods	1		
0,2		1		
0,3	Mg	5		
0,4		7		
0,5		6		
0,6	Mg(FSa)	7	0,370	
0,7		8	0,385	
0,8		8	0,385	
0,9		8	0,385	
1,0		9	0,398	
1,1		8	0,385	
1,2		9	0,398	
1,3		8	0,385	
1,4		7	0,370	
1,5		7	0,370	
1,6		7	0,370	
1,7		6	0,352	
1,8		6	0,352	
1,9	zw. wody	6	0,352	0,375
2,0	FSa	4	0,348	
2,1		4	0,348	
2,2		4	0,348	
2,3		4	0,348	
2,4		4	0,348	
2,5		4	0,348	
2,6		3	0,320	
2,7		4	0,348	
2,8		3	0,320	
2,9		3	0,320	
3,0		3	0,320	
3,1		4	0,348	
3,2		3	0,320	
3,3		3	0,320	
3,4		3	0,320	
3,5		3	0,320	
3,6		3	0,320	
3,7		3	0,320	
3,8		4	0,348	
3,9		3	0,320	
4,0		4	0,348	
4,1		4	0,348	
4,2		4	0,348	
4,3		4	0,348	
4,4		4	0,348	
4,5		4	0,348	
4,6		4	0,348	
4,7		4	0,348	
4,8		3	0,320	
4,9		4	0,348	
5,0		4	0,348	
5,1		4	0,348	
5,2		4	0,348	
5,3		4	0,348	
5,4		4	0,348	
5,5		4	0,348	
5,6		4	0,348	
5,7		4	0,348	
5,8		4	0,348	
5,9		4	0,348	
6,0		4	0,348	0,340
6,1	FSa	6	0,389	
6,2		8	0,418	
6,3		9	0,429	
6,4		7	0,404	0,410
6,5	FSa	4	0,348	
6,6		4	0,348	
6,7		4	0,348	
6,8		4	0,348	
6,9		3	0,320	
7,0		3	0,320	
7,1		3	0,320	
7,2		3	0,320	
7,3		3	0,320	
7,4		3	0,320	
7,5		3	0,320	
7,6		4	0,348	
7,7		4	0,348	0,333
7,8	FSa	6	0,389	
7,9		7	0,404	
8,0		7	0,404	
8,1		7	0,404	
8,2		8	0,418	
8,3		9	0,429	
8,4		11	0,450	
8,5		11	0,450	
8,6		12	0,458	
8,7		13	0,466	
8,8		13	0,466	
8,9		14	0,474	
9,0		14	0,474	0,437

Temat: Świnoujście, infrastruktura węzła przesiadkowego				
Wyniki sondowania DPL przy otworze nr 12				
Rzędna 2,32 m n.p.m.				
Głęb. spągu przelotu	Rodzaj gruntu	Ilość uderzeń N10	Wartość ID	ID średnie
0,1	bet+Pods	1		
0,2		1		
0,3	Mg	12		
0,4		16		
0,5		19		
0,6		14		
0,7		12		
0,8	FSa	11	0,421	
0,9		10	0,410	
1,0		7	0,370	0,400
1,1	FSa	4	0,307	
1,2		4	0,307	
1,3		4	0,307	
1,4		3	0,274	
1,5		3	0,274	
1,6		4	0,307	
1,7		4	0,307	
1,8		4	0,307	0,298
1,9	FSa	7	0,370	
2,0		9	0,398	
2,1		11	0,421	
2,2		10	0,410	
2,3	zw. wody	11	0,421	
2,4		10	0,440	
2,5		8	0,418	
2,6		6	0,389	
2,7		5	0,371	0,404
2,8	FSa	4	0,348	
2,9		3	0,320	
3,0		4	0,348	
3,1		4	0,348	
3,2		4	0,348	
3,3		4	0,348	
3,4		3	0,320	
3,5		3	0,320	
3,6		3	0,320	
3,7		4	0,348	
3,8		4	0,348	
3,9		4	0,348	
4,0		4	0,348	
4,1		4	0,348	0,340
4,2	FSa	7	0,404	
4,3		10	0,440	
4,4		13	0,466	
4,5		15	0,481	
4,6		17	0,493	
4,7		18	0,499	
4,8		19	0,504	
4,9		20	0,509	
5,0		20	0,509	0,478

Temat: Świnoujście, infrastruktura węzła przesiadkowego				
Wyniki sondowania DPL przy otworze nr 13				
Rzędna 2,32 m n.p.m.				
Głęb. spągu przelotu	Rodzaj gruntu	Ilość uderów N10	Wartość ID	ID średnie
0,1	bet+Pods	1		
0,2		1		
0,3	Mg	3		
0,4		3		
0,5		3		
0,6		3		
0,7	FSa	3	0,274	
0,8		3	0,274	
0,9		3	0,274	
1,0		3	0,274	
1,1		3	0,274	
1,2		3	0,274	
1,3		3	0,274	
1,4		3	0,274	
1,5		3	0,274	
1,6		3	0,274	
1,7		4	0,307	
1,8		4	0,307	
1,9		4	0,307	
2,0		4	0,307	0,283
2,1	FSa	6	0,352	
2,2		7	0,370	
2,3	zw. wody	9	0,398	
2,4		9	0,429	
2,5		8	0,418	
2,6		9	0,429	
2,7		7	0,404	0,400
2,8	FSa	4	0,348	
2,9		3	0,320	
3,0		3	0,320	
3,1		3	0,320	
3,2		3	0,320	
3,3		3	0,320	
3,4		3	0,320	
3,5		3	0,320	
3,6		3	0,320	
3,7		3	0,320	
3,8		3	0,320	
3,9		3	0,320	
4,0		3	0,320	
4,1		3	0,320	
4,2		3	0,320	
4,3		3	0,320	
4,4		4	0,348	
4,5		4	0,348	
4,6		4	0,348	
4,7		4	0,348	0,327
4,8	FSa	7	0,404	
4,9		9	0,429	
5,0		8	0,418	
5,1		9	0,429	
5,2		9	0,429	
5,3		8	0,418	
5,4		10	0,440	
5,5		9	0,429	
5,6		9	0,429	
5,7		8	0,418	
5,8		9	0,429	
5,9		11	0,450	
6,0		11	0,450	
6,1		10	0,440	
6,2		11	0,450	
6,3		12	0,458	
6,4		13	0,466	
6,5		12	0,458	
6,6		14	0,474	
6,7		12	0,458	
6,8		14	0,474	
6,9		15	0,481	
7,0		15	0,481	
7,1		16	0,487	
7,2		14	0,474	
7,3		15	0,481	
7,4		15	0,481	
7,5		15	0,481	
7,6		16	0,487	
7,7		16	0,487	
7,8		17	0,493	
7,9		17	0,493	
8,0		18	0,499	0,457

Temat: Świnoujście, infrastruktura węzła przesiadkowego				
Wyniki sondowania DPL przy otworze nr 14				
Rzędna 2,22 m n.p.m.				
Głęb. spągu przelotu	Rodzaj gruntu	Ilość uderzeń N10	Wartość ID	ID średnie
0,1	bet+Pods	1		
0,2		1		
0,3	Mg	4		
0,4		6		
0,5		8		
0,6		7		
0,7	FSa	7	0,370	
0,8		6	0,352	
0,9		7	0,370	
1,0		6	0,352	
1,1		7	0,370	
1,2		7	0,370	
1,3		7	0,370	
1,4		7	0,370	
1,5		7	0,370	
1,6		7	0,370	
1,7		8	0,385	
1,8		8	0,385	
1,9		8	0,385	
2,0		8	0,385	
2,1		7	0,370	
2,2	zw. wody	6	0,352	0,370
2,3	FSa	4	0,348	
2,4		4	0,348	
2,5		4	0,348	
2,6		4	0,348	
2,7		4	0,348	
2,8		4	0,348	
2,9		4	0,348	
3,0		4	0,348	
3,1		4	0,348	
3,2		4	0,348	0,348
3,3	FSa	6	0,389	
3,4		7	0,404	
3,5		9	0,429	
3,6		9	0,429	
3,7		11	0,450	
3,8		10	0,440	
3,9		11	0,450	
4,0		12	0,458	
4,1		13	0,466	
4,2		14	0,474	
4,3		13	0,466	
4,4		14	0,474	
4,5		15	0,481	
4,6		15	0,481	
4,7		16	0,487	
4,8		16	0,487	
4,9		17	0,493	
5,0		17	0,493	0,458
Wyniki sondowania DPL przy otworze nr 15				
Rzędna 2,23 m n.p.m.				
Głęb. spągu przelotu	Rodzaj gruntu	Ilość uderzeń N10	Wartość ID	ID średnie
0,1	saOr	4		
0,2		9		
0,3		6		
0,4		5		
0,5	FSa	4	0,307	
0,6		4	0,307	
0,7		4	0,307	
0,8		4	0,307	
0,9		4	0,307	
1,0		5	0,332	0,311
1,1	FSa	7	0,370	
1,2		9	0,398	
1,3		11	0,421	
1,4		10	0,410	
1,5		11	0,421	
1,6		10	0,410	
1,7		11	0,421	
1,8		12	0,431	
1,9		11	0,421	
2,0		13	0,440	
2,1		13	0,440	
2,2	zw. wody	13	0,440	
2,3		11	0,450	
2,4		10	0,440	
2,5		11	0,450	
2,6		12	0,458	
2,7		14	0,474	
2,8		12	0,458	
2,9		14	0,474	
3,0		16	0,487	0,435

Temat: Świnoujście, infrastruktura węzła przesiadkowego				
Wyniki sondowania DPL przy otworze nr 16				
Rzędna 2,32 m n.p.m.				
Głęb. spągu przelotu	Rodzaj gruntu	Ilość uderzeń N10	Wartość ID	ID średnie
0,1	bet+podś	1		
0,2		1		
0,3	Mg(FSa)	7		
0,4		8	0,385	
0,5		8	0,385	
0,6		9	0,398	
0,7		8	0,385	
0,8		7	0,370	0,384
0,9	FSa	7	0,370	
1,0		6	0,352	
1,1		7	0,370	
1,2		7	0,370	
1,3		7	0,370	
1,4		6	0,352	0,364
1,5	FSa	4	0,307	
1,6		4	0,307	
1,7		4	0,307	
1,8		3	0,274	
1,9		3	0,274	
2,0		3	0,274	
2,1		4	0,307	
2,2		4	0,307	
2,3		4	0,307	0,296
2,4	zw. wody	7	0,370	
2,5	FSa	9	0,429	
2,6		9	0,429	
2,7		11	0,450	
2,8		10	0,440	
2,9		11	0,450	
3,0		11	0,450	
3,1		12	0,458	
3,2		10	0,440	
3,3		13	0,466	
3,4		13	0,466	
3,5		14	0,474	
3,6		13	0,466	
3,7		14	0,474	
3,8		15	0,481	
3,9		14	0,474	
4,0		15	0,481	
4,1		16	0,487	
4,2		16	0,487	
4,3		15	0,481	
4,4		16	0,487	
4,5		17	0,493	
4,6		16	0,487	
4,7		18	0,499	
4,8		18	0,499	
4,9		19	0,504	
5,0		19	0,504	0,468

Temat: Świnoujście, infrastruktura węzła przesiadkowego				
Wyniki sondowania DPL przy otworze nr 17				
Rzędna 2,42 m n.p.m.				
Głęb. spągu przelotu	Rodzaj gruntu	Ilość uderów N10	Wartość ID	ID średnie
0,1	bet+Pods	1		
0,2		1		
0,3	FSa	3		
0,4		3	0,274	
0,5		3	0,274	
0,6		3	0,274	
0,7		4	0,307	
0,8		4	0,307	
0,9		3	0,274	
1,0		4	0,307	
1,1		4	0,307	
1,2		4	0,307	
1,3		4	0,307	
1,4		4	0,307	
1,5		3	0,274	
1,6		4	0,307	
1,7		4	0,307	
1,8		4	0,307	
1,9		4	0,307	
2,0		4	0,307	
2,1		4	0,307	
2,2		4	0,307	
2,3		5	0,332	0,300
2,4	zw. wody	7	0,370	
2,5	FSa	9	0,429	
2,6		9	0,429	
2,7		9	0,429	
2,8		10	0,440	
2,9		11	0,450	
3,0		10	0,440	
3,1		11	0,450	
3,2		12	0,458	
3,3		12	0,458	
3,4		13	0,466	
3,5		12	0,458	
3,6		14	0,474	
3,7		14	0,474	
3,8		15	0,481	
3,9		16	0,487	
4,0		16	0,487	0,452
Wyniki sondowania DPL przy otworze nr 18				
Rzędna 2,21 m n.p.m.				
Głęb. spągu przelotu	Rodzaj gruntu	Ilość uderów N10	Wartość ID	ID średnie
0,1	bet+Pods	1		
0,2		1		
0,3	FSa	6		
0,4		7	0,370	
0,5		8	0,385	
0,6		7	0,370	
0,7		7	0,370	0,373
0,8	FSa	5	0,332	
0,9		4	0,307	
1,0		4	0,307	
1,1		4	0,307	
1,2		4	0,307	
1,3		3	0,274	
1,4		3	0,274	
1,5		3	0,274	
1,6		3	0,274	
1,7		3	0,274	
1,8		3	0,274	
1,9		3	0,274	
2,0		3	0,274	
2,1		4	0,307	0,290
2,2	zw. wody	7	0,404	
2,3	FSa	7	0,404	
2,4		8	0,418	
2,5		9	0,429	
2,6		8	0,418	
2,7		9	0,429	
2,8		11	0,450	
2,9		10	0,440	
3,0		11	0,450	
3,1		11	0,450	
3,2		12	0,458	
3,3		13	0,466	
3,4		12	0,458	
3,5		13	0,466	
3,6		14	0,474	
3,7		14	0,474	
3,8		14	0,474	
3,9		15	0,481	
4,0		16	0,487	0,449

BARG - ARTGEO Sp. z o. o.
ul. Chmielewskiego 13
71-028 Szczecin

Załącznik 47

Temat: Swinoujście, infrastruktura węzła przesiadkowego				
Wyniki sondowania DPL przy otworze nr 19				
Rzędna 1,68 m n.p.m.				
Głęb. spągu przelotu	Rodzaj gruntu	Ilość uderzeń N10	Wartość ID	ID średnie
0,1	bet	1		
0,2	Mg(FSa)	6		
0,3		8		
0,4		8	0,385	
0,5		9	0,398	
0,6		8	0,385	
0,7		9	0,398	
0,8		10	0,410	
0,9		9	0,398	
1,0		8	0,385	
1,1		8	0,385	
1,2		7	0,370	0,390
1,3	FSa	8	0,385	
1,4		8	0,385	
1,5		8	0,385	
1,6		8	0,385	
1,7	zw. wody	9	0,398	
1,8		8	0,418	
1,9		8	0,418	
2,0		8	0,418	
2,1		8	0,418	
2,2		8	0,418	
2,3		8	0,418	
2,4		9	0,429	
2,5		8	0,418	
2,6		9	0,429	
2,7		9	0,429	
2,8		11	0,450	
2,9		10	0,440	
3,0		10	0,440	
3,1		11	0,450	
3,2		11	0,450	
3,3		9	0,429	
3,4		10	0,440	
3,5		11	0,450	
3,6		11	0,450	
3,7		10	0,440	
3,8		11	0,450	
3,9		12	0,458	
4,0		11	0,450	
4,1		12	0,458	
4,2		12	0,458	
4,3		13	0,466	
4,4		12	0,458	
4,5		13	0,466	
4,6		14	0,474	
4,7		13	0,466	
4,8		15	0,481	
4,9		15	0,481	
5,0		16	0,487	0,438
Wyniki sondowania DPL przy otworze nr 20				
Rzędna 1,42 m n.p.m.				
Głęb. spągu przelotu	Rodzaj gruntu	Ilość uderzeń N10	Wartość ID	ID średnie
0,1	Mg	4		
0,2		7		
0,3		11		
0,4		15		
0,5		16		
0,6		18		
0,7		17		
0,8		12		
0,9		9		
1,0		7		
1,1	FSa	5	0,332	
1,2		5	0,332	
1,3		4	0,307	
1,4	zw. wody	4	0,307	
1,5		3	0,320	
1,6		3	0,320	
1,7		3	0,320	
1,8		3	0,320	
1,9		4	0,348	
2,0		4	0,348	
2,1		4	0,348	
2,2		4	0,348	0,329
2,3	FSa	7	0,404	
2,4		9	0,429	
2,5		11	0,450	
2,6		10	0,440	
2,7		12	0,458	
2,8		13	0,466	
2,9		13	0,466	
3,0		14	0,474	0,448

Temat: Świnoujście, infrastruktura węzła przesiadkowego				
Wyniki sondowania DPL przy otworze nr 21				
Rzędna 1,21 m n.p.m.				
Głęb. spągu przelotu	Rodzaj gruntu	Ilość uderzeń N10	Wartość ID	ID średnie
0,1	bet	1		
0,2	Mg(FSa)	6		
0,3		8		
0,4		11	0,421	
0,5		9	0,398	
0,6		8	0,385	
0,7		8	0,385	
0,8		8	0,385	
0,9		7	0,370	0,391
1,0	FSa	4	0,307	
1,1		4	0,307	
1,2	zw. wody	4	0,307	
1,3		4	0,348	0,317
1,4	Or(T)	3		
1,5	FSa	10		
Wyniki sondowania DPL przy otworze nr 22				
Rzędna 0,92 m n.p.m.				
Głęb. spągu przelotu	Rodzaj gruntu	Ilość uderzeń N10	Wartość ID	ID średnie
0,1	saOr	1		
0,2		2		
0,3		3		
0,4		3		
0,5		3		
0,6		4		
0,7	FSa	7	0,370	
0,8		7	0,370	
0,9		8	0,385	0,375
1,0	zw. wody	8	0,385	
1,1	FSa	8	0,418	
1,2		8	0,418	
1,3		9	0,429	
1,4		10	0,440	
1,5		10	0,440	0,422
Wyniki sondowania DPL przy otworze nr 23				
Rzędna 1,38 m n.p.m.				
Głęb. spągu przelotu	Rodzaj gruntu	Ilość uderzeń N10	Wartość ID	ID średnie
0,1	saOr	2		
0,2		3		
0,3		4		
0,4		5		
0,5		5		
0,6	FSa	4	0,307	
0,7		4	0,307	
0,8		4	0,307	0,307
0,9	FSa	7	0,370	
1,0		7	0,370	
1,1		8	0,385	
1,2		8	0,385	
1,3		8	0,385	
1,4	zw. wody	9	0,398	
1,5		9	0,429	0,389

Temat: Świnoujście, infrastruktura węzła przesiadkowego				
Wyniki sondowania DPL przy otworze nr 24				
Rzędna 0,69 m n.p.m.				
Głęb. spągu przelotu	Rodzaj gruntu	Ilość uderów N10	Wartość ID	ID średnie
0,1	saOr	2		
0,2		3		
0,3		4		
0,4		4		
0,5		4		
0,6	FSa	4	0,307	
0,7	zw. wody	5	0,332	0,319
0,8	FSa	7	0,404	
0,9		9	0,429	
1,0		9	0,429	
1,1		10	0,440	
1,2		11	0,450	
1,3		10	0,440	
1,4		9	0,429	
1,5		8	0,418	
1,6		9	0,429	
1,7		9	0,429	
1,8		9	0,429	
1,9		9	0,429	
2,0		9	0,429	
2,1		9	0,429	
2,2		11	0,450	
2,3		9	0,429	
2,4		9	0,429	
2,5		10	0,440	
2,6		10	0,440	
2,7		11	0,450	
2,8		12	0,458	
2,9		12	0,458	
3,0		12	0,458	0,436
Wyniki sondowania DPL przy otworze nr 25				
Rzędna 0,79 m n.p.m.				
Głęb. spągu przelotu	Rodzaj gruntu	Ilość uderów N10	Wartość ID	ID średnie
0,1	saOr	1		
0,2		2		
0,3		3		
0,4		4		
0,5	FSa	6	0,352	
0,6		7	0,370	
0,7		7	0,370	
0,8	zw. wody	7	0,370	
0,9		7	0,404	
1,0		8	0,418	
1,1		9	0,429	
1,2		8	0,418	
1,3		9	0,429	
1,4		9	0,429	
1,5		10	0,440	0,403

Temat: Świnoujście, infrastruktura węzła przesiadkowego				
Wyniki sondowania DPL przy otworze nr 26				
Rzędna 1,38 m n.p.m.				
Głęb. spągu przelotu	Rodzaj gruntu	Ilość uderzeń N10	Wartość ID	ID średnie
0,1	Mg	2		
0,2		3		
0,3	FSa	4		
0,4		4	0,307	
0,5		4	0,307	
0,6		4	0,307	
0,7		4	0,307	
0,8		4	0,307	
0,9		4	0,307	
1,0		4	0,307	
1,1		4	0,307	
1,2		4	0,307	
1,3		5	0,332	0,309
1,4	zw. wody	7	0,370	
1,5	FSa	8	0,418	0,394
Wyniki sondowania DPL przy otworze nr 27				
Rzędna 1,11 m n.p.m.				
Głęb. spągu przelotu	Rodzaj gruntu	Ilość uderzeń N10	Wartość ID	ID średnie
0,1	Mg	2		
0,2		4		
0,3		6		
0,4		7		
0,5		5		
0,6	FSa	4	0,307	
0,7		4	0,307	
0,8		4	0,307	
0,9		4	0,307	
1,0		4	0,307	
1,1		4	0,307	
1,2	zw. wody	4	0,307	0,307
1,3	FSa	7	0,404	
1,4		9	0,429	
1,5		11	0,450	0,428
Wyniki sondowania DPL przy otworze nr 28				
Rzędna 1,29 m n.p.m.				
Głęb. spągu przelotu	Rodzaj gruntu	Ilość uderzeń N10	Wartość ID	ID średnie
0,1	saOr	2		
0,2		4		
0,3	FSa	4		
0,4		4	0,307	
0,5		4	0,307	
0,6		4	0,307	
0,7		4	0,307	
0,8		4	0,307	0,307
0,9	FSa	6	0,352	
1,0		8	0,385	
1,1		8	0,385	
1,2		9	0,398	
1,3	zw. wody	8	0,385	
1,4		9	0,429	
1,5		11	0,450	0,398

Temat: Świnoujście, infrastruktura węzła przesiadkowego				
Wyniki sondowania DPL przy otworze nr 29				
Rzędna 0,93 m n.p.m.				
Głęb. spągu przelotu	Rodzaj gruntu	Ilość uderzeń N10	Wartość ID	ID średnie
0,1	saOr	1		
0,2		2		
0,3		3		
0,4	FSa	4	0,307	
0,5		4	0,307	
0,6		4	0,307	
0,7		4	0,307	
0,8		3	0,274	
0,9		3	0,274	
1,0	zw. wody	4	0,307	
1,1		4	0,348	
1,2		4	0,348	
1,3		4	0,348	
1,4		4	0,348	
1,5		4	0,348	0,319
Wyniki sondowania DPL przy otworze nr 30				
Rzędna 1,11 m n.p.m.				
Głęb. spągu przelotu	Rodzaj gruntu	Ilość uderzeń N10	Wartość ID	ID średnie
0,1	Mg	1		
0,2		2		
0,3		2		
0,4		3		
0,5		4		
0,6	FSa	7	0,370	
0,7		8	0,385	
0,8		8	0,385	
0,9		9	0,398	
1,0		9	0,398	
1,1	zw. wody	9	0,398	0,389
1,2		8	0,418	
1,3		8	0,418	
1,4		9	0,429	
1,5		10	0,440	0,426
Wyniki sondowania DPL przy otworze nr 31				
Rzędna 0,78 m n.p.m.				
Głęb. spągu przelotu	Rodzaj gruntu	Ilość uderzeń N10	Wartość ID	ID średnie
0,1	Mg	2		
0,2		4		
0,3		6		
0,4		5	0,332	
0,5	FSa	4	0,307	
0,6		4	0,307	
0,7		4	0,307	
0,8	zw. wody	4	0,307	0,312
0,9	FSa	7	0,404	
1,0		9	0,429	
1,1		11	0,450	
1,2		12	0,458	
1,3		15	0,481	
1,4		14	0,474	
1,5		16	0,487	
1,6		16	0,487	
1,7		15	0,481	
1,8		17	0,493	
1,9		16	0,487	
2,0		18	0,499	
2,1		18	0,499	
2,2		19	0,504	
2,3		18	0,499	
2,4		19	0,504	
2,5		19	0,504	
2,6		20	0,509	
2,7		21	0,514	
2,8		22	0,519	
2,9		22	0,519	
3,0		22	0,519	0,487

Temat: Świnoujście, infrastruktura węzła przesiadkowego				
Wyniki sondowania DPL przy otworze nr 32				
Rzędna 0,32 m n.p.m.				
Głęb. spągu przelotu	Rodzaj gruntu	Ilość uderzeń N10	Wartość ID	ID średnie
0,1	saOr	2		
0,2		3		
0,3		4		
0,4	zw. wody	6	0,352	
0,5	FSa	7	0,404	
0,6		7	0,404	
0,7		7	0,404	
0,8		8	0,418	
0,9		7	0,404	
1,0		8	0,418	
1,1		8	0,418	
1,2		8	0,418	
1,3		9	0,429	
1,4		11	0,450	
1,5		12	0,458	
1,6		11	0,450	
1,7		12	0,458	
1,8		13	0,466	
1,9		13	0,466	
2,0		14	0,474	
2,1		13	0,466	
2,2		14	0,474	
2,3		15	0,481	
2,4		14	0,474	
2,5		15	0,481	
2,6		16	0,487	
2,7		16	0,487	
2,8		17	0,493	
2,9		17	0,493	
3,0		18	0,499	0,449
Wyniki sondowania DPL przy otworze nr 33				
Rzędna 0,33 m n.p.m.				
Głęb. spągu przelotu	Rodzaj gruntu	Ilość uderzeń N10	Wartość ID	ID średnie
0,1	saOr	2		
0,2		4		
0,3	zw. wody	5		
0,4	FSa	7	0,404	
0,5		9	0,429	
0,6		10	0,440	
0,7		11	0,450	
0,8		10	0,440	
0,9		11	0,450	
1,0		13	0,466	
1,1		12	0,458	
1,2		14	0,474	
1,3		14	0,474	
1,4		15	0,481	
1,5		16	0,487	
1,6		15	0,481	
1,7		16	0,487	
1,8		15	0,481	
1,9		17	0,493	
2,0		18	0,499	
2,1		18	0,499	
2,2		17	0,493	
2,3		16	0,487	
2,4		18	0,499	
2,5		19	0,504	
2,6		19	0,504	
2,7		20	0,509	
2,8		21	0,514	
2,9		22	0,519	
3,0		22	0,519	0,479

Temat: Świnoujście, infrastruktura węzła przesiadkowego				
Wyniki sondowania DPL przy otworze nr 34				
Rzędna 1,38 m n.p.m.				
Głęb. spągu przelotu	Rodzaj gruntu	Ilość uderzeń N10	Wartość ID	ID średnie
0,1	Mg	7		
0,2		14		
0,3		18		
0,4		23		
0,5		27		
0,6		24		
0,7		20		
0,8	FSa	14	0,448	
0,9		13	0,440	
1,0		14	0,448	
1,1		15	0,456	
1,2		14	0,448	
1,3		15	0,456	
1,4	zw. wody	15	0,456	
1,5		16	0,487	
1,6		14	0,474	
1,7		13	0,466	
1,8		14	0,474	
1,9		15	0,481	
2,0		14	0,474	
2,1		15	0,481	
2,2		17	0,493	
2,3		15	0,481	
2,4		14	0,474	
2,5		14	0,474	
2,6		13	0,466	
2,7		14	0,474	
2,8		15	0,481	
2,9		16	0,487	
3,0		16	0,487	0,470
Wyniki sondowania DPL przy otworze nr 35				
Rzędna 1,73 m n.p.m.				
Głęb. spągu przelotu	Rodzaj gruntu	Ilość uderzeń N10	Wartość ID	ID średnie
0,1	tluczeń	1		
0,2		1		
0,3	Mg	22		
0,4		20		
0,5		18		
0,6		16		
0,7		15		
0,8	FSa	14	0,448	
0,9		13	0,440	
1,0		11	0,421	
1,1		12	0,431	
1,2		11	0,421	
1,3		8	0,385	
1,4		7	0,370	0,416
1,5	FSa	4	0,307	
1,6		4	0,307	
1,7		3	0,274	
1,8	zw. wody	4	0,307	0,298
1,9	FSa	7	0,404	
2,0		9	0,429	
2,1		11	0,450	
2,2		13	0,466	
2,3		12	0,458	
2,4		14	0,474	
2,5		15	0,481	
2,6		16	0,487	
2,7		15	0,481	
2,8		16	0,487	
2,9		16	0,487	
3,0		18	0,499	0,467

Temat: Świnoujście, infrastruktura węzła przesiadkowego				
Wyniki sondowania DPL przy otworze nr 36				
Rzędna 1,73 m n.p.m.				
Głęb. spągu przelotu	Rodzaj gruntu	Ilość uderów N10	Wartość ID	ID średnie
0,1	tluczeń	1		
0,2		1		
0,3	Mg(FSa)	7		
0,4		8	0,385	
0,5		7	0,370	
0,6		8	0,385	
0,7		8	0,385	
0,8		8	0,385	
0,9		8	0,385	
1,0		7	0,370	
1,1		7	0,370	
1,2		7	0,370	
1,3		7	0,370	0,377
1,4	FSa	9	0,398	
1,5		10	0,410	
1,6		11	0,421	
1,7	zw. wody	9	0,398	
1,8		10	0,440	
1,9		10	0,440	
2,0		11	0,450	
2,1		9	0,429	
2,2		8	0,418	
2,3		11	0,450	
2,4		12	0,458	
2,5		12	0,458	
2,6		13	0,466	
2,7		14	0,474	
2,8		13	0,466	
2,9		14	0,474	
3,0		14	0,474	0,443
Wyniki sondowania DPL przy otworze nr 37				
Rzędna 1,88 m n.p.m.				
Głęb. spągu przelotu	Rodzaj gruntu	Ilość uderów N10	Wartość ID	ID średnie
0,1	tluczeń	1		
0,2		1		
0,3	Mg(FSa)	7		
0,4		8	0,385	
0,5		8	0,385	
0,6		9	0,398	
0,7		8	0,385	
0,8		9	0,398	
0,9		9	0,398	
1,0		9	0,398	
1,1		8	0,385	
1,2		8	0,385	
1,3		11	0,421	0,394
1,4	FSa	11	0,421	
1,5		9	0,398	
1,6		11	0,421	
1,7		10	0,410	
1,8		8	0,385	
1,9	zw. wody	9	0,398	0,405
2,0		9	0,429	
2,1		11	0,450	
2,2		10	0,440	
2,3		11	0,450	
2,4		12	0,458	
2,5		12	0,458	
2,6		13	0,466	
2,7		13	0,466	
2,8		14	0,474	
2,9		14	0,474	
3,0		14	0,474	0,458

Temat: Świnoujście, infrastruktura węzła przesiadkowego				
Wyniki sondowania DPL przy otworze nr 38				
Rzędna 1,33 m n.p.m.				
Głęb. spągu przelotu	Rodzaj gruntu	Ilość uderów N10	Wartość ID	ID średnie
0,1	Mg	4		
0,2		7		
0,3		9		
0,4		9		
0,5		9		
0,6		6		
0,7	Mg(FSa)	5	0,332	
0,8		4	0,307	
0,9		4	0,307	
1,0		4	0,307	
1,1		4	0,307	
1,2		4	0,307	
1,3	zw. wody	4	0,307	0,310
1,4	FSa	3	0,320	
1,5		3	0,320	
1,6		3	0,320	
1,7		3	0,320	
1,8		3	0,320	
1,9		3	0,320	
2,0		3	0,320	
2,1		3	0,320	
2,2		3	0,320	
2,3		3	0,320	
2,4		3	0,320	
2,5		3	0,320	
2,6		4	0,348	
2,7		4	0,348	
2,8		4	0,348	
2,9		4	0,348	0,327
3,0	FSa	7	0,404	
3,1		9	0,429	
3,2		10	0,440	
3,3		10	0,440	
3,4		9	0,429	
3,5		11	0,450	
3,6		11	0,450	
3,7		12	0,458	
3,8		12	0,458	
3,9		12	0,458	
4,0		13	0,466	0,444
Wyniki sondowania DPL przy otworze nr 39				
Rzędna 1,49 m n.p.m.				
Głęb. spągu przelotu	Rodzaj gruntu	Ilość uderów N10	Wartość ID	ID średnie
0,1	Mg	2		
0,2		4		
0,3		6		
0,4		5	0,332	
0,5	FSa	7	0,370	
0,6		8	0,385	
0,7		8	0,385	
0,8		8	0,385	
0,9		8	0,385	
1,0		7	0,370	
1,1		6	0,352	0,370
1,2	Or(T)	4		
1,3	FSa	4	0,307	
1,4		4	0,307	
1,5	zw. wody	4	0,307	
1,6		4	0,348	
1,7		4	0,348	
1,8		4	0,348	
1,9		4	0,348	0,331
2,0	FSa	7	0,404	
2,1		8	0,418	
2,2		8	0,418	
2,3		10	0,440	
2,4		9	0,429	
2,5		10	0,440	
2,6		11	0,450	
2,7		11	0,450	
2,8		12	0,458	
2,9		13	0,466	
3,0		13	0,466	0,440

Temat: Świnoujście, infrastruktura węzła przesiadkowego				
Wyniki sondowania DPH przy otworze nr 1				
Rzędna 1,79 m n.p.m.				
Głęb. spągu przelotu	Rodzaj gruntu	Ilość uderzeń N10	Wartość ID	ID średnie
1,6	FSa	6	0,438	
1,7		6	0,438	
1,8	zw. wody	6	0,438	
1,9		6	0,526	
2,0		5	0,496	
2,1		4	0,459	
2,2		4	0,459	
2,3		4	0,459	
2,4		4	0,459	
2,5		4	0,459	
2,6		6	0,526	
2,7		6	0,526	0,474
2,8		9	0,593	
2,9		12	0,640	
3,0		12	0,640	
3,1		9	0,593	
3,2		8	0,573	
3,3		8	0,573	
3,4		7	0,551	
3,5		6	0,526	
3,6		7	0,551	
3,7		8	0,573	
3,8		8	0,573	
3,9		9	0,593	
4,0		9	0,593	0,582
Wyniki sondowania DPH przy otworze nr 4				
Rzędna 1,72 m n.p.m.				
Głęb. spągu przelotu	Rodzaj gruntu	Ilość uderzeń N10	Wartość ID	ID średnie
1,6	FSa	4	0,362	
1,7	zw. wody	5	0,404	
1,8		4	0,459	
1,9		3	0,411	
2,0		3	0,411	
2,1		3	0,411	
2,2		3	0,411	
2,3		4	0,459	
2,4		6	0,526	
2,5		7	0,551	
2,6		8	0,573	
2,7		9	0,593	
2,8		11	0,626	0,477
2,9	FSa	17	0,698	
3,0		19	0,716	
3,1		20	0,724	
3,2		21	0,732	
3,3		22	0,740	
3,4		22	0,740	
3,5		24	0,754	
3,6		26	0,768	
3,7		27	0,774	
3,8		28	0,780	
3,9		30	0,791	
4,0		32	0,802	0,752

Temat: Świnoujście, infrastruktura węzła przesiadkowego				
Wyniki sondowania DPH przy otworze nr 5				
Rzędna 2,02 m n.p.m.				
Głęb. spągu przelotu	Rodzaj gruntu	Ilość uderów N10		Wartość ID
1,6	FSa	5		0,404
1,7		5		0,404
1,8		5		0,404
1,9		6		0,438
2,0	zw. wody	5		0,404
2,1		4		0,459
2,2		4		0,459
2,3		4		0,459
2,4		3		0,411
2,5		3		0,411
2,6	FSa	2		0,344
2,7		2		0,344
2,8		2		0,344
2,9		2		0,344
3,0		2		0,344
3,1		2		0,344
3,2		2		0,344
3,3		2		0,344
3,4		2		0,344
3,5		2		0,344
3,6		2		0,344
3,7		2		0,344
3,8		2		0,344
3,9		2		0,344
4,0		2		0,344
4,1		2		0,344
4,2		2		0,344
4,3		2		0,344
4,4		2		0,344
4,5		2		0,344
4,6		2		0,344
4,7		2		0,344
4,8		2		0,344
4,9	FSa	4		0,459
5,0		5		0,496
5,1		5		0,496
5,2		6		0,526
5,3		6		0,526
5,4		6		0,526
5,5		6		0,526
5,6		6		0,526
5,7		7		0,551
5,8		8		0,573
5,9		9		0,593
6,0		8		0,573
6,1		9		0,593
6,2		11		0,626
6,3		10		0,610
6,4		10		0,610
6,5		9		0,593
6,6		10		0,610
6,7		11		0,626
6,8		11		0,626
6,9		12		0,640
7,0		12		0,640

Temat: Świnoujście, infrastruktura węzła przesiadkowego				
Wyniki sondowania DPH przy otworze nr 7				
Rzędna 1,59 m n.p.m.				
Głęb. spągu przelotu	Rodzaj gruntu	Ilość uderów N10	Wartość ID	ID średnie
1,6	zw. wody	12	0,569	
1,7	Mg(FSa)	12	0,640	
1,8		12	0,640	
1,9		12	0,640	
2,0		12	0,640	0,626
2,1	FSa	18	0,707	
2,2		19	0,716	
2,3		21	0,732	
2,4		23	0,747	
2,5		24	0,754	
2,6		25	0,761	
2,7		26	0,768	
2,8		26	0,768	
2,9		27	0,774	
3,0		27	0,774	0,750
Wyniki sondowania DPH przy otworze nr 21				
Rzędna 1,21 m n.p.m.				
Głęb. spągu przelotu	Rodzaj gruntu	Ilość uderów N10	Wartość ID	ID średnie
1,6	FSa	4	0,459	
1,7		4	0,459	
1,8		5	0,496	
1,9		6	0,526	
2,0		7	0,551	
2,1		5	0,496	
2,2		5	0,496	
2,3		4	0,459	
2,4		7	0,551	
2,5		7	0,551	
2,6		7	0,551	
2,7		6	0,526	
2,8		5	0,496	
2,9		6	0,526	
3,0		7	0,551	
3,1		6	0,526	
3,2		6	0,526	
3,3		8	0,573	
3,4		6	0,526	
3,5		7	0,551	
3,6		8	0,573	
3,7		9	0,593	
3,8		9	0,593	
3,9		9	0,593	
4,0		11	0,626	
4,1		11	0,626	
4,2		12	0,640	
4,3		11	0,626	
4,4		12	0,640	0,548
4,5	FSa	16	0,688	
4,6		18	0,707	
4,7		20	0,724	
4,8		21	0,732	
4,9		23	0,747	
5,0		26	0,768	0,728

Temat: Świnoujście, infrastruktura węzła przesiadkowego				
Wyniki sondowania DPH przy otworze nr 22				
Rzędna 0,92 m n.p.m.				
Głęb. spągu przelotu	Rodzaj gruntu	Ilość uderów N10	Wartość ID	ID średnie
1,6	FSa	4	0,459	
1,7		5	0,496	
1,8		6	0,526	
1,9		5	0,496	
2,0		6	0,526	
2,1		5	0,496	
2,2		4	0,459	
2,3		4	0,459	
2,4		5	0,496	
2,5		6	0,526	
2,6		6	0,526	
2,7		6	0,526	
2,8		7	0,551	0,503
2,9		9	0,593	
3,0		11	0,626	
3,1		11	0,626	
3,2		12	0,640	
3,3		12	0,640	
3,4		11	0,626	
3,5		12	0,640	
3,6		12	0,640	0,629
3,7	FSa	18	0,707	
3,8		18	0,707	
3,9		19	0,716	
4,0		18	0,707	
4,1		20	0,724	
4,2		20	0,724	
4,3		21	0,732	
4,4		22	0,740	
4,5		22	0,740	
4,6		23	0,747	
4,7		24	0,754	
4,8		25	0,761	
4,9		24	0,754	
5,0		26	0,768	0,735
Wyniki sondowania DPH przy otworze nr 23				
Rzędna 1,38 m n.p.m.				
Głęb. spągu przelotu	Rodzaj gruntu	Ilość uderów N10	Wartość ID	ID średnie
1,6	FSa	5	0,496	
1,7		6	0,526	
1,8		7	0,551	
1,9		7	0,551	
2,0		6	0,526	
2,1		6	0,526	
2,2		8	0,573	
2,3		7	0,551	
2,4		6	0,526	
2,5		5	0,496	
2,6		5	0,496	
2,7		6	0,526	
2,8		8	0,573	
2,9		9	0,593	
3,0		10	0,610	
3,1		10	0,610	
3,2		10	0,610	
3,3		9	0,593	
3,4		11	0,626	
3,5		10	0,610	
3,6		10	0,610	
3,7		12	0,640	
3,8		12	0,640	0,568
3,9	FSa	18	0,707	
4,0		19	0,716	
4,1		21	0,732	
4,2		23	0,747	
4,3		23	0,747	
4,4		24	0,754	
4,5		25	0,761	
4,6		25	0,761	
4,7		26	0,768	
4,8		26	0,768	
4,9		27	0,774	
5,0		28	0,780	0,751

Temat: Świnoujście, infrastruktura węzła przesiadkowego				
Wyniki sondowania DPH przy otworze nr 25				
Rzędna 0,79 m n.p.m.				
Głęb. spągu przelotu	Rodzaj gruntu	Ilość uderów N10	Wartość ID	ID średnie
1,6	FSa	5	0,496	
1,7		5	0,496	
1,8		5	0,496	
1,9		5	0,496	
2,0		4	0,459	
2,1		4	0,459	
2,2		4	0,459	
2,3		5	0,496	
2,4		5	0,496	
2,5		6	0,526	
2,6		7	0,551	
2,7		7	0,551	
2,8		7	0,551	
2,9		8	0,573	
3,0		9	0,593	
3,1		9	0,593	
3,2		10	0,610	
3,3		12	0,640	
3,4		10	0,610	
3,5		11	0,626	
3,6		12	0,640	
3,7		10	0,610	
3,8		11	0,626	
3,9		11	0,626	
4,0		12	0,640	
4,1		12	0,640	
4,2		11	0,626	
4,3		12	0,640	
4,4		12	0,640	0,568
4,5	FSa	18	0,707	
4,6		19	0,716	
4,7		19	0,716	
4,8		20	0,724	
4,9		21	0,732	
5,0		22	0,740	0,723
Wyniki sondowania DPH przy otworze nr 26				
Rzędna 1,38 m n.p.m.				
Głęb. spągu przelotu	Rodzaj gruntu	Ilość uderów N10	Wartość ID	ID średnie
1,6	FSa	6	0,526	
1,7		6	0,526	
1,8		7	0,551	
1,9		6	0,526	
2,0		7	0,551	
2,1		7	0,551	
2,2		7	0,551	
2,3		7	0,551	
2,4		8	0,573	
2,5		7	0,551	
2,6		8	0,573	
2,7		7	0,551	
2,8		8	0,573	
2,9		7	0,551	
3,0		8	0,573	
3,1		8	0,573	
3,2		8	0,573	
3,3		8	0,573	
3,4		8	0,573	
3,5		8	0,573	
3,6		9	0,593	
3,7		10	0,610	
3,8		10	0,610	
3,9		11	0,626	
4,0		11	0,626	
4,1		11	0,626	
4,2		11	0,626	
4,3		12	0,640	0,575
4,4	FSa	18	0,707	
4,5		20	0,724	
4,6		21	0,732	
4,7		23	0,747	
4,8		24	0,754	
4,9		24	0,754	
5,0		25	0,761	0,740

Temat: Świnoujście, infrastruktura węzła przesiadkowego				
Wyniki sondowania DPH przy otworze nr 27				
Rzędna 1,11 m n.p.m.				
Głęb. spągu przelotu	Rodzaj gruntu	Ilość uderów N10	Wartość ID	ID średnie
1,6	FSa	4	0,459	
1,7		5	0,496	
1,8		5	0,496	
1,9		6	0,526	
2,0		5	0,496	
2,1		5	0,496	
2,2		6	0,526	
2,3		7	0,551	
2,4		8	0,573	
2,5		8	0,573	
2,6		8	0,573	
2,7		8	0,573	
2,8		10	0,610	
2,9		11	0,626	
3,0		10	0,610	
3,1		11	0,626	
3,2		12	0,640	
3,3		12	0,640	
3,4		12	0,640	
3,5		12	0,640	
3,6		11	0,626	
3,7		9	0,593	
3,8		10	0,610	
3,9		11	0,626	
4,0		10	0,610	
4,1		11	0,626	
4,2		12	0,640	0,581
4,3	FSa	18	0,707	
4,4		20	0,724	
4,5		22	0,740	
4,6		23	0,747	
4,7		23	0,747	
4,8		24	0,754	
4,9		25	0,761	
5,0		25	0,761	0,743
Wyniki sondowania DPH przy otworze nr 28				
Rzędna 1,29 m n.p.m.				
Głęb. spągu przelotu	Rodzaj gruntu	Ilość uderów N10	Wartość ID	ID średnie
1,6	FSa	7	0,551	
1,7		6	0,526	
1,8		5	0,496	0,524
1,9	FSa	2	0,344	
2,0		2	0,344	0,344
2,1	FSa	4	0,459	
2,2		4	0,459	
2,3		5	0,496	
2,4		4	0,459	
2,5		5	0,496	
2,6		5	0,496	
2,7		6	0,526	
2,8		7	0,551	
2,9		6	0,526	
3,0		6	0,526	
3,1		5	0,496	
3,2		6	0,526	
3,3		7	0,551	
3,4		6	0,526	
3,5		7	0,551	
3,6		7	0,551	
3,7		8	0,573	
3,8		7	0,551	
3,9		8	0,573	
4,0		9	0,593	
4,1		10	0,610	
4,2		11	0,626	0,533
4,3	FSa	16	0,688	
4,4		18	0,707	
4,5		21	0,732	
4,6		23	0,747	
4,7		24	0,754	
4,8		26	0,768	
4,9		27	0,774	
5,0		27	0,774	0,743

Temat: Świnoujście, infrastruktura węzła przesiadkowego				
Wyniki sondowania DPH przy otworze nr 29				
Rzędna 0,93 m n.p.m.				
Głęb. spągu przelotu	Rodzaj gruntu	Ilość uderów N10	Wartość ID	ID średnie
1,6	FSa	4	0,459	
1,7		4	0,459	
1,8		4	0,459	
1,9		4	0,459	
2,0		6	0,526	
2,1		7	0,551	
2,2		6	0,526	
2,3		5	0,496	
2,4		5	0,496	
2,5		5	0,496	
2,6		4	0,459	
2,7		5	0,496	
2,8		5	0,496	
2,9		6	0,526	
3,0		7	0,551	0,497
3,1		10	0,610	
3,2		11	0,626	
3,3		12	0,640	
3,4		12	0,640	0,629
3,5	FSa	17	0,698	
3,6		18	0,707	
3,7		18	0,707	
3,8		20	0,724	
3,9		22	0,740	
4,0		21	0,732	
4,1		22	0,740	
4,2		22	0,740	
4,3		22	0,740	
4,4		22	0,740	
4,5		22	0,740	
4,6		23	0,747	0,730
4,7		25	0,761	
4,8		27	0,774	
4,9		28	0,780	
5,0		28	0,780	0,774
Wyniki sondowania DPH przy otworze nr 30				
Rzędna 1,11 m n.p.m.				
Głęb. spągu przelotu	Rodzaj gruntu	Ilość uderów N10	Wartość ID	ID średnie
1,6	FSa	4	0,459	
1,7		4	0,459	
1,8		4	0,459	
1,9		4	0,459	
2,0		4	0,459	
2,1		5	0,496	
2,2		4	0,459	
2,3		5	0,496	
2,4		6	0,526	
2,5		6	0,526	
2,6		7	0,551	
2,7		7	0,551	
2,8		7	0,551	
2,9		6	0,526	
3,0		8	0,573	
3,1		9	0,593	
3,2		9	0,593	
3,3		10	0,610	
3,4		11	0,626	
3,5		12	0,640	
3,6		12	0,640	0,536
3,7	FSa	18	0,707	
3,8		20	0,724	
3,9		19	0,716	
4,0		20	0,724	
4,1		21	0,732	
4,2		22	0,740	
4,3		22	0,740	
4,4		23	0,747	
4,5		24	0,754	
4,6		25	0,761	
4,7		24	0,754	
4,8		25	0,761	
4,9		25	0,761	
5,0		26	0,768	0,742

BARG - ARTGEO Sp. z o. o.
ul. Chmielewskiego 13
71-028 Szczecin

Załącznik 63

Temat: Świnoujście, infrastruktura węzła przesiadkowego

Obliczenie stopnia zagęszczenia I_D
dla warstwy geotechnicznej II

Wartość charakterystyczna I_D **0,475**
Współczynnik materiałowy 1- 0,12604401
Wartość obliczeniowa I_D **42%**

Nr otworu	Głębokość stropu przelotu	Głębokość spągu przelotu	Wartość I_D	Miaższość przelotu H	$I_D * H$	$I_D - I_{D(n)}$	$(I_D - I_{D(n)})^2 * H$
1	1,2	1,5	0,502	0,3	0,15060000	0,02671303	0,00021408
1	1,5	2,7	0,474	1,2	0,56880000	-0,00128697	0,00000199
1	2,7	4,0	0,582	1,3	0,75660000	0,10671303	0,01480397
3	1,7	3,0	0,492	1,3	0,63960000	0,01671303	0,00036312
4	1,5	2,8	0,477	1,3	0,62010000	0,00171303	0,00000381
5	1,2	1,5	0,389	0,3	0,11670000	-0,08628697	0,00223363
5	1,5	2,5	0,425	1,0	0,42500000	-0,05028697	0,00252878
5	4,8	7,0	0,570	2,2	1,25400000	0,09471303	0,01973523
6	0,3	0,6	0,389	0,3	0,11670000	-0,08628697	0,00223363
6	1,8	2,5	0,396	0,7	0,27720000	-0,07928697	0,00440050
6	2,7	3,5	0,456	0,8	0,36480000	-0,01928697	0,00029759
8	1,1	2,1	0,401	1,0	0,40100000	-0,07428697	0,00551855
8	5,7	8,0	0,478	2,3	1,09940000	0,00271303	0,00001693
9	5,1	8,0	0,452	2,9	1,31080000	-0,02328697	0,00157262
10	1,4	2,6	0,407	1,2	0,48840000	-0,06828697	0,00559573
10	3,8	5,0	0,460	1,2	0,55200000	-0,01528697	0,00028043
11	6,0	6,4	0,410	0,4	0,16400000	-0,06528697	0,00170496
11	7,7	9,0	0,437	1,3	0,56810000	-0,03828697	0,00190566
12	0,7	1,0	0,400	0,3	0,12000000	-0,07528697	0,00170044
12	1,8	2,7	0,404	0,9	0,36360000	-0,07128697	0,00457365
12	4,1	5,0	0,478	0,9	0,43020000	0,00271303	0,00000662
13	2,0	2,7	0,400	0,7	0,28000000	-0,07528697	0,00396769
13	4,7	8,0	0,457	3,3	1,50810000	-0,01828697	0,00110356
14	0,6	2,2	0,370	1,6	0,59200000	-0,10528697	0,01773655
14	3,2	5,0	0,458	1,8	0,82440000	-0,01728697	0,00053791
15	1,0	3,0	0,435	2,0	0,87000000	-0,04028697	0,00324608
16	0,8	1,4	0,364	0,6	0,21840000	-0,11128697	0,00743087
16	2,3	5,0	0,468	2,7	1,26360000	-0,00728697	0,00014337
17	2,3	4,0	0,452	1,7	0,76840000	-0,02328697	0,00092188
18	0,3	0,7	0,373	0,4	0,14920000	-0,10228697	0,00418505
18	2,1	4,0	0,449	1,9	0,85310000	-0,02628697	0,00131291
19	1,2	5,0	0,438	3,8	1,66440000	-0,03728697	0,00528321
20	2,2	3,0	0,448	0,8	0,35840000	-0,02728697	0,00059566
21	1,4	4,4	0,548	3,0	1,64400000	0,07271303	0,01586156
22	1,5	2,8	0,503	1,3	0,65390000	0,02771303	0,00099842
22	2,8	3,6	0,629	0,8	0,50320000	0,15371303	0,01890216
22	0,6	0,9	0,375	0,3	0,11250000	-0,10028697	0,00301724
22	0,9	1,5	0,422	0,6	0,25320000	-0,05328697	0,00170370
23	0,8	1,5	0,389	0,7	0,27230000	-0,08628697	0,00521181
23	1,5	3,8	0,568	2,3	1,30640000	0,09271303	0,01977013
24	0,7	3,0	0,436	2,3	1,00280000	-0,03928697	0,00354997
25	0,4	1,5	0,403	1,1	0,44330000	-0,07228697	0,00574795
25	1,5	4,4	0,568	2,9	1,64720000	0,09271303	0,02492755
26	1,3	1,5	0,394	0,2	0,07880000	-0,08128697	0,00132151
26	1,6	4,3	0,575	2,7	1,55250000	0,09971303	0,02684526
27	1,2	1,5	0,428	0,3	0,12840000	-0,04728697	0,00067082
27	1,5	4,2	0,581	2,7	1,56870000	0,10571303	0,03017316
28	0,8	1,5	0,398	0,7	0,27860000	-0,07728697	0,00418129
28	1,5	1,8	0,524	0,3	0,15720000	0,04871303	0,00071189
28	2,0	4,2	0,533	2,2	1,17260000	0,05771303	0,00732775
29	1,5	3,1	0,497	1,6	0,79520000	0,02171303	0,00075433
29	3,1	3,4	0,629	0,3	0,18870000	0,15371303	0,00708831
30	0,5	1,1	0,389	0,6	0,23340000	-0,08628697	0,00446726
30	1,1	1,5	0,426	0,4	0,17040000	-0,04928697	0,00097168
30	1,5	3,6	0,536	2,1	1,12560000	0,06071303	0,00774075
31	0,8	3,0	0,487	2,2	1,07140000	0,01171303	0,00030183
32	0,3	3,0	0,449	2,7	1,21230000	-0,02628697	0,00186571
33	0,3	3,0	0,479	2,7	1,29330000	0,00371303	0,00003722
34	0,3	3,0	0,470	2,7	1,26900000	-0,00528697	0,00007547
35	0,7	1,4	0,416	0,7	0,29120000	-0,05928697	0,00246046
35	1,8	2,0	0,467	0,2	0,09340000	-0,00828697	0,00001373
36	1,3	3,0	0,443	1,7	0,75310000	-0,03228697	0,00177216
37	1,3	1,8	0,405	0,5	0,20250000	-0,07028697	0,00247013
37	1,8	3,0	0,458	1,2	0,54960000	-0,01728697	0,00035861
38	2,9	4,0	0,444	1,1	0,48840000	-0,03128697	0,00107676
39	0,4	1,1	0,370	0,7	0,25900000	-0,10528697	0,00775974
39	1,9	3,0	0,440	1,1	0,48400000	-0,03528697	0,00136969
Razem			30,670	91,3	43,39370000		0,32766268
Ilość przelotów			67,0				

BARG - ARTGEO Sp. z o. o.
ul. Chmielewskiego 13
71-028 Szczecin

Załącznik 64

Temat: Świnoujście, infrastruktura węzła przesiadkowego

Obliczenie stopnia zagęszczenia I_D
dla warstwy geotechnicznej Mg2

Wartość charakterystyczna I_D 0,426
Współczynnik materiałowy 1- 0,12634012
Wartość obliczeniowa I_D 37%

Nr otworu	Głębokość stropu przelotu	Głębokość spągu przelotu	Wartość I_D	Miąższość przelotu H	$I_D * H$	$I_D - I_{D(n)}$	$(I_D - I_{D(n)})^2 * H$
2	0,3	1,4	0,476	1,1	0,52360000	0,04966165	0,00271291
3	0,3	1,7	0,438	1,4	0,61320000	0,01166165	0,00019039
4	0,5	1,5	0,458	1,0	0,45800000	0,03166165	0,00100246
5	0,3	1,2	0,460	0,9	0,41400000	0,03366165	0,00101980
7	0,3	1,5	0,468	1,2	0,56160000	0,04166165	0,00208283
7	1,5	2,0	0,626	0,5	0,31300000	0,19966165	0,01993239
9	0,3	2,0	0,397	1,7	0,67490000	-0,02933835	0,00146326
11	0,5	1,9	0,375	1,4	0,52500000	-0,05133835	0,00368988
16	0,2	0,8	0,384	0,6	0,23040000	-0,04233835	0,00107552
19	0,3	1,2	0,390	0,9	0,35100000	-0,03633835	0,00118843
21	0,3	0,9	0,391	0,6	0,23460000	-0,03533835	0,00074928
36	0,3	1,3	0,377	1,0	0,37700000	-0,04933835	0,00243427
37	0,3	1,3	0,394	1,0	0,39400000	-0,03233835	0,00104577
Razem			5,634	13,3	5,67030000		0,03858718
Ilość przelotów			13,0				

Obliczenie stopnia zagęszczenia I_D
dla warstwy geotechnicznej III

Wartość charakterystyczna I_D 0,747
Współczynnik materiałowy 1- 0,01817927
Wartość obliczeniowa I_D 67%

Nr otworu	Głębokość stropu przelotu	Głębokość spągu przelotu	Wartość I_D	Miąższość przelotu H	$I_D * H$	$I_D - I_{D(n)}$	$(I_D - I_{D(n)})^2 * H$
4	2,8	4,0	0,752	1,2	0,90240000	0,00534513	0,00003428
7	2,0	3,0	0,750	1,0	0,75000000	0,00334513	0,00001119
21	4,4	5,0	0,728	0,6	0,43680000	-0,01865487	0,00020880
22	3,6	5,0	0,735	1,4	1,02900000	-0,01165487	0,00019017
23	3,8	5,0	0,751	1,2	0,90120000	0,00434513	0,00002266
25	4,4	5,0	0,723	0,6	0,43380000	-0,02365487	0,00033573
26	4,3	5,0	0,740	0,7	0,51800000	-0,00665487	0,00003100
27	4,2	5,0	0,743	0,8	0,59440000	-0,00365487	0,00001069
28	4,2	5,0	0,743	0,8	0,59440000	-0,00365487	0,00001069
29	3,4	5,0	0,774	1,6	1,23840000	0,02734513	0,00119641
30	3,6	5,0	0,742	1,4	1,03880000	-0,00465487	0,00003033
Razem			8,181	11,3	8,43720000		0,00208195
Ilość przelotów			11,0				

Obliczenie stopnia zagęszczenia I_D
dla warstwy geotechnicznej I

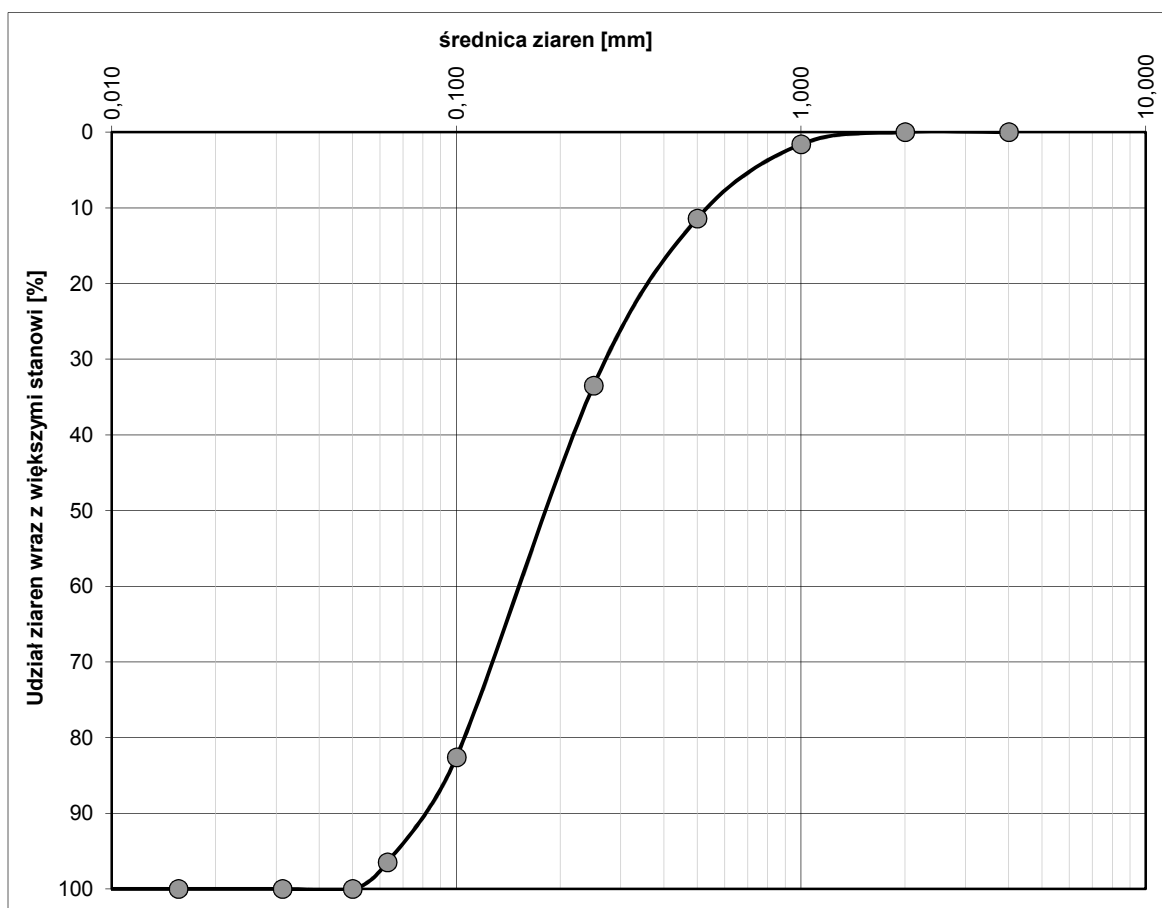
Wartość charakterystyczna I_D 0,325
Współczynnik materiałowy 1- 0,05879396
Wartość obliczeniowa I_D 29%

Nr otworu	Głębokość stropu przelotu	Głębokość spągu przelotu	Wartość I_D	Miąższość przelotu H	$I_D * H$	$I_D - I_{D(n)}$	$(I_D - I_{D(n)})^2 * H$
5	2,5	4,8	0,344	2,3	0,79120000	0,01895979	0,00082679
6	0,6	1,8	0,309	1,2	0,37080000	-0,01604021	0,00030875
6	2,5	2,7	0,348	0,2	0,06960000	0,02295979	0,00010543
8	2,1	5,7	0,348	3,6	1,25280000	0,02295979	0,00189775
9	2,0	5,1	0,336	3,1	1,04160000	0,01095979	0,00037236
10	2,6	3,8	0,329	1,2	0,39480000	0,00395979	0,00001882
11	1,9	6,0	0,340	4,1	1,39400000	0,01495979	0,00091756
11	6,4	7,7	0,333	1,3	0,43290000	0,00795979	0,00008237
12	1,0	1,8	0,298	0,8	0,23840000	-0,02704021	0,00058494
12	2,7	4,1	0,340	1,4	0,47600000	0,01495979	0,00031331
13	0,6	2,0	0,283	1,4	0,39620000	-0,04204021	0,00247433
13	2,7	4,7	0,327	2,0	0,65400000	0,00195979	0,00000768
14	2,2	3,2	0,348	1,0	0,34800000	0,02295979	0,00052715
15	0,4	1,0	0,311	0,6	0,18660000	-0,01404021	0,00011828
16	1,4	2,3	0,296	0,9	0,26640000	-0,02904021	0,00075900
17	0,2	2,3	0,300	2,1	0,63000000	-0,02504021	0,00131673
18	0,7	2,1	0,290	1,4	0,40600000	-0,03504021	0,00171894
20	1,0	2,2	0,329	1,2	0,39480000	0,00395979	0,00001882
21	0,9	1,3	0,317	0,4	0,12680000	-0,00804021	0,00002586
23	0,5	0,8	0,307	0,3	0,09210000	-0,01804021	0,00009763
24	0,5	0,7	0,319	0,2	0,06380000	-0,00604021	0,00000730
26	0,3	1,3	0,309	1,0	0,30900000	-0,01604021	0,00025729
27	0,6	1,2	0,307	0,6	0,18420000	-0,01804021	0,00019527
28	0,3	0,8	0,307	0,5	0,15350000	-0,01804021	0,00016272
28	1,8	2,0	0,344	0,2	0,06880000	0,01895979	0,00007189
29	0,3	1,5	0,319	1,2	0,38280000	-0,00604021	0,00004378
31	0,4	0,8	0,312	0,4	0,12480000	-0,01304021	0,00006802
35	1,4	1,8	0,298	0,4	0,11920000	-0,02704021	0,00029247
38	1,3	2,9	0,327	1,6	0,52320000	0,00195979	0,00000615
39	1,2	1,9	0,331	0,7	0,23170000	0,00595979	0,00002486
Razem			9,606	37,3	12,12400000		0,01362224
Ilość przelotów			30,0				

ANALIZA UZIARNIENIA GRUNTU WG PN - EN 1997-2
Świnoujście, infrastruktura węzła przesiadkowego
Otwór nr 1
 2,5 m p.p.t.

FSa (piasek drobny)

Średnica ziarn	udział	suma pr.		
[mm]	%	%%	frakcje	
	4,000	0	d60	0,220
			d20	0,110
4,00	2,000	0,0	żwirowa	d10
2,000 -	1,000	1,6		0,080
1,000 -	0,500	9,8	U = 2,75	
0,500 -	0,250	22,1		
0,250 -	0,100	49,1		
0,100 -	0,063	13,9	piaskowa	
0,063 -	0,050	3,5		
0,050 -	0,031	0,0		k= 7,78 m/d
0,031 -	0,016	0,0		
0,016 -	0,008	0,0	pyłowa	
0,008 -	0,004	0,0		
0,004 -	0,002	0,0		
0,002 -	0,000	0,0	iłowa	



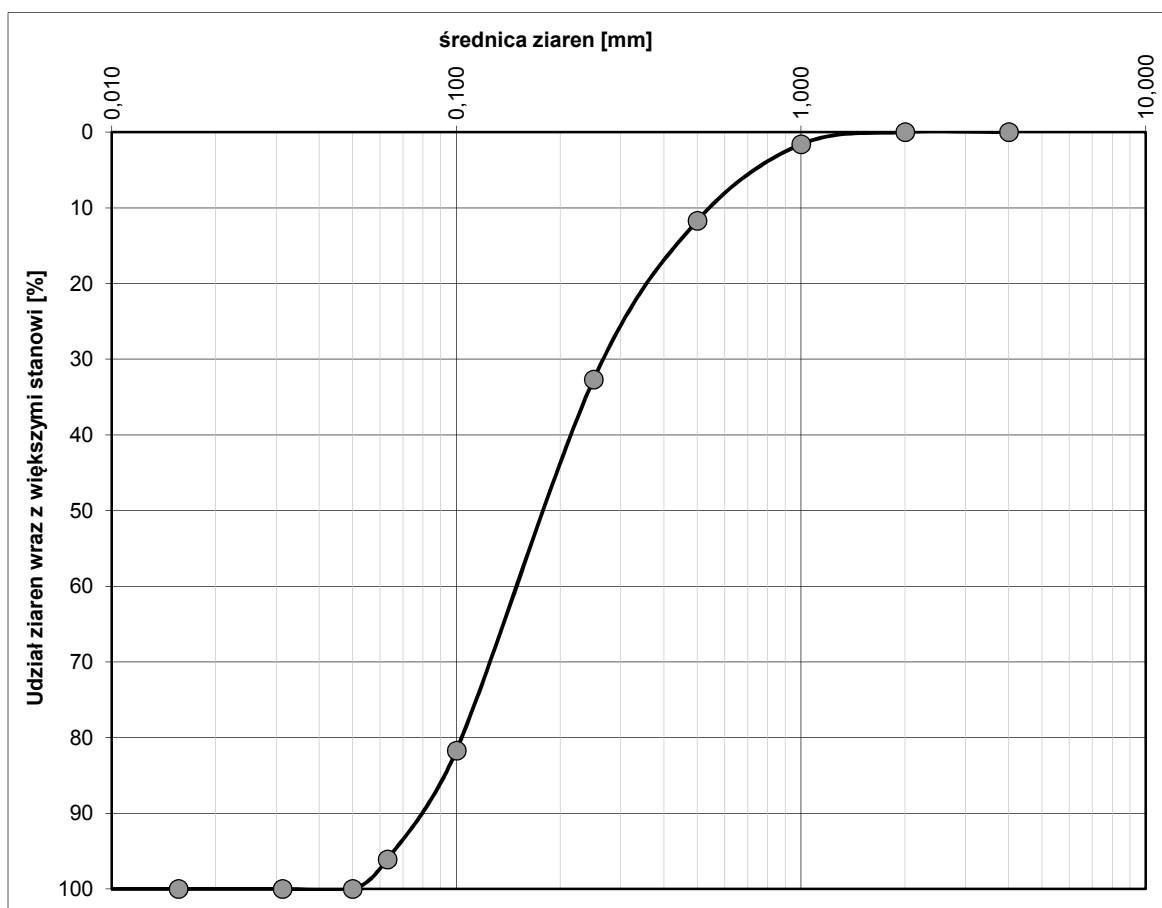
ANALIZA UZIARNIENIA GRUNTU WG PN - EN 1997-2
Świnoujście, infrastruktura węzła przesiadkowego
Otwór nr 3
 2,0 m p.p.t.

FSa (piasek drobny)

Średnica ziarn	udział	suma pr.		
[mm]	%	%%	frakcje	
			d60	0,205
			d20	0,100
4,000	0	0,0		
4,000	2,000	0,0	żwirowa	d10 0,080
2,000 -	1,000	1,6		
1,000 -	0,500	10,1		
0,500 -	0,250	21,0		
0,250 -	0,100	49,0		
0,100 -	0,063	14,4	piaskowa	
0,063 -	0,050	3,9		
0,050 -	0,031	0,0		
0,031 -	0,016	0,0		
0,016 -	0,008	0,0	pyłowa	
0,008 -	0,004	0,0		
0,004 -	0,002	0,0		
0,002 -	0,000	0,0	iłowa	

U = 2,56

k= 7,55 m/d



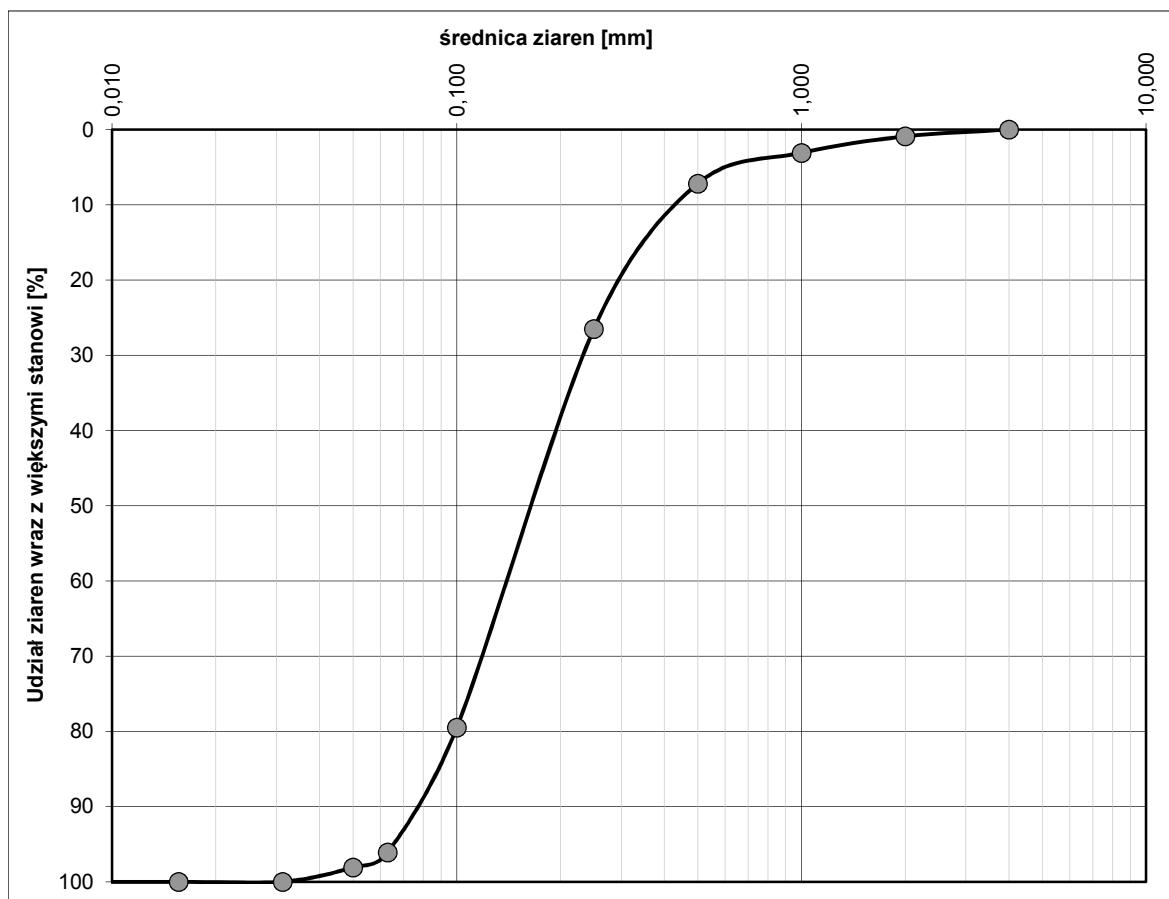
ANALIZA UZIARNIENIA GRUNTU WG PN - EN 1997-2
Świnoujście, infrastruktura węzła przesiadkowego
Otwór nr 6
 1,6 m p.p.t.

FSa (piasek drobny)

Średnica ziarn [mm]		udział %	suma pr. %%	frakcje	d60	0,195
					d20	0,100
	4,000	0	0			
4,00	2,000	0,9	0,9	żwirowa	d10	0,080
2,000 -	1,000	2,2	3,1			
1,000 -	0,500	4,1	7,2			
0,500 -	0,250	19,3	26,5			
0,250 -	0,100	53,0	79,5			
0,100 -	0,063	16,6	96,1	piaskowa		
0,063 -	0,050	2,0	98,1			
0,050 -	0,031	1,9	100,0			
0,031 -	0,016	0,0	100,0			
0,016 -	0,008	0,0	100,0	pyłowa		
0,008 -	0,004	0,0	100,0			
0,004 -	0,002	0,0	100,0			
0,002 -	0,000	0,0	100,0	iłowa		

U = 2,44

k= 7,04 m/d



ANALIZA UZIARNIENIA GRUNTU WG PN - EN 1997-2
Świnoujście, infrastruktura węzła przesiadkowego

Otwór nr 8

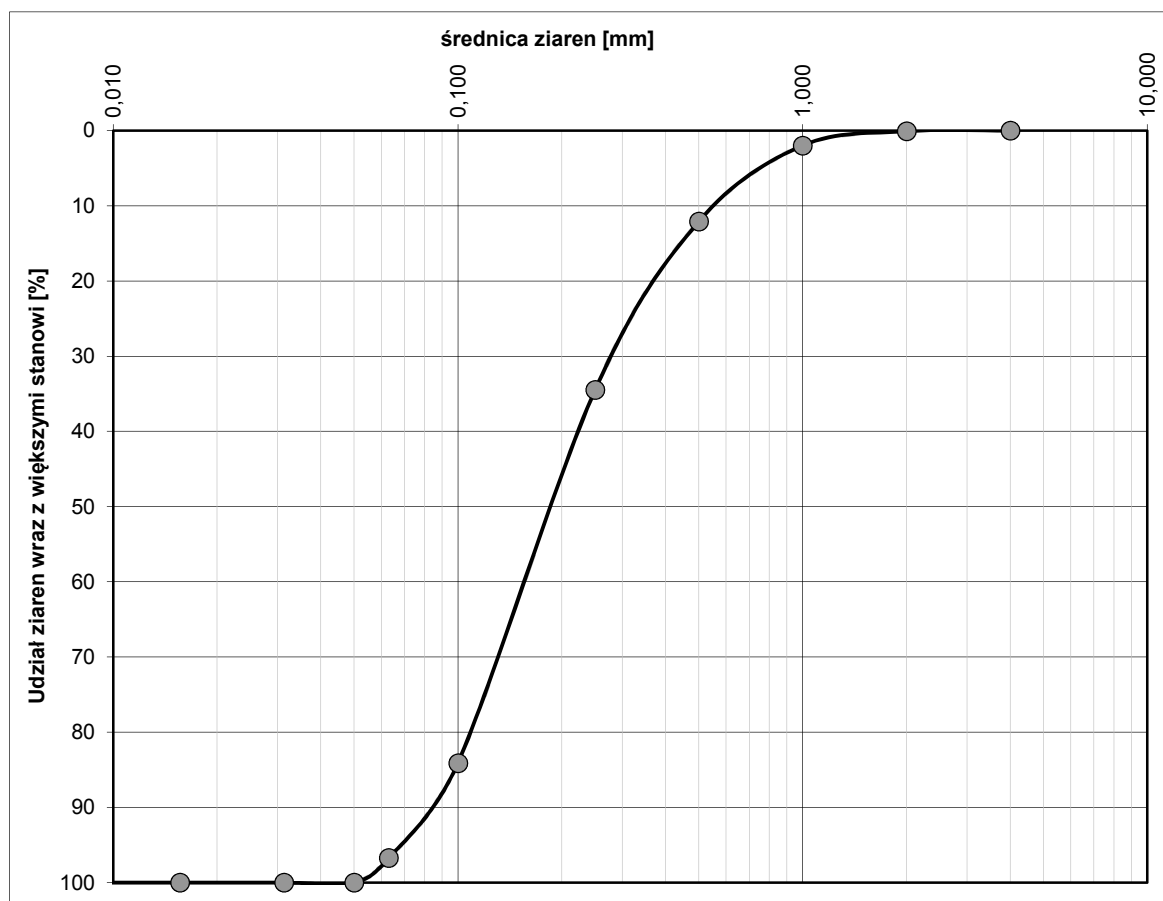
2,0 m p.p.t.

FSa (piasek drobny)

Średnica ziarn	udział	suma pr.	frakcje	d60	0,225
[mm]	%	%%			
	4,000	0		d20	0,105
4,00	2,000	0,1	żwirowa	d10	0,085
2,000 -	1,000	1,9			
1,000 -	0,500	10,1			
0,500 -	0,250	22,4			
0,250 -	0,100	49,6	piaskowa		
0,100 -	0,063	12,6			
0,063 -	0,050	3,3			
0,050 -	0,031	0,0			
0,031 -	0,016	0,0	pyłowa		
0,016 -	0,008	0,0			
0,008 -	0,004	0,0			
0,004 -	0,002	0,0			
0,002 -	0,000	0,0	iłowa		

U = 2,65

k= 7,79 m/d



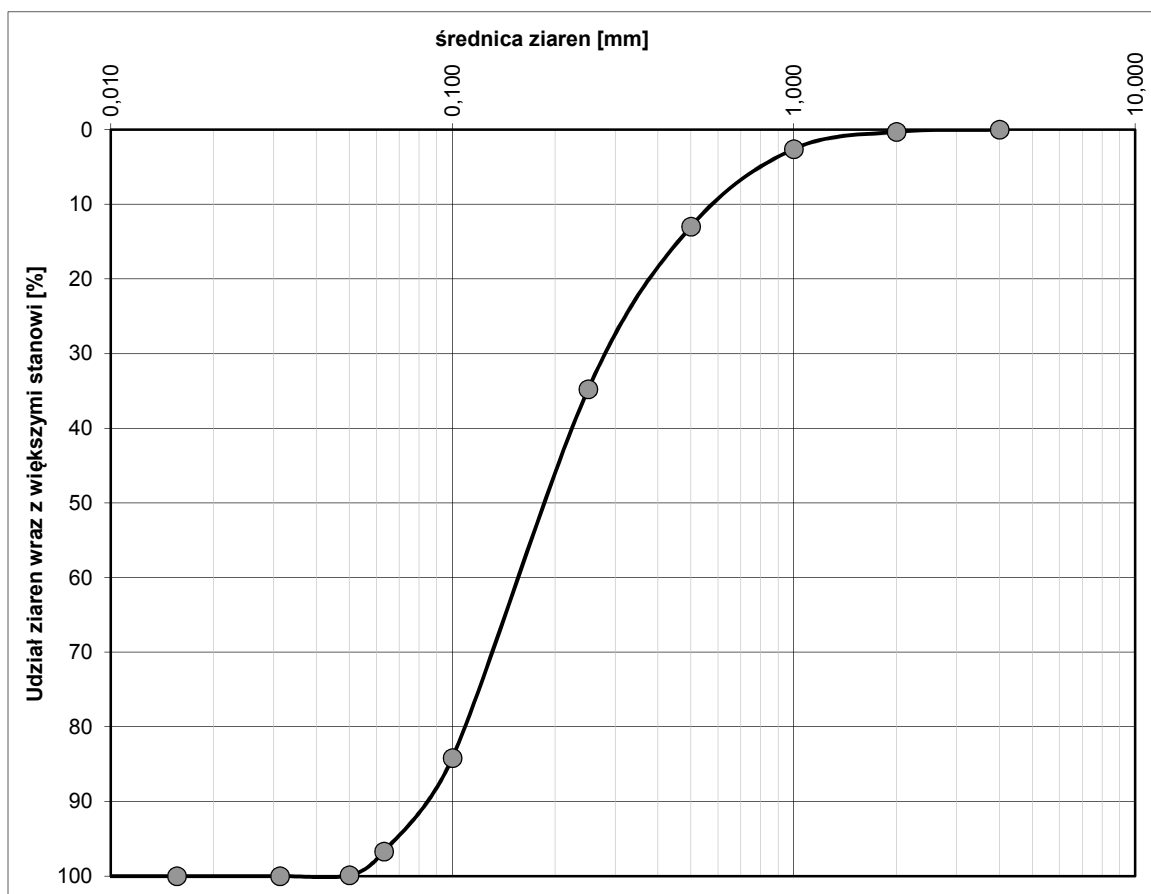
ANALIZA UZIARNIENIA GRUNTU WG PN - EN 1997-2
Świnoujście, infrastruktura węzła przesiadkowego
Otwór nr 10
 3,5 m p.p.t.

FSa (piasek drobny)

Średnica ziarn	udział	suma pr.		
[mm]	%	%%	frakcje	
	4,000	0		d60 0,230
				d20 0,110
4,00	2,000	0,3	żwirowa	d10 0,085
2,000 -	1,000	2,3		
1,000 -	0,500	10,4		
0,500 -	0,250	21,8		
0,250 -	0,100	49,4	piaskowa	
0,100 -	0,063	12,5		
0,063 -	0,050	3,2		
0,050 -	0,031	0,1		
0,031 -	0,016	0,0	pyłowa	
0,016 -	0,008	0,0		
0,008 -	0,004	0,0		
0,004 -	0,002	0,0		
0,002 -	0,000	0,0	iłowa	

U = 2,71

k= 8,12 m/d



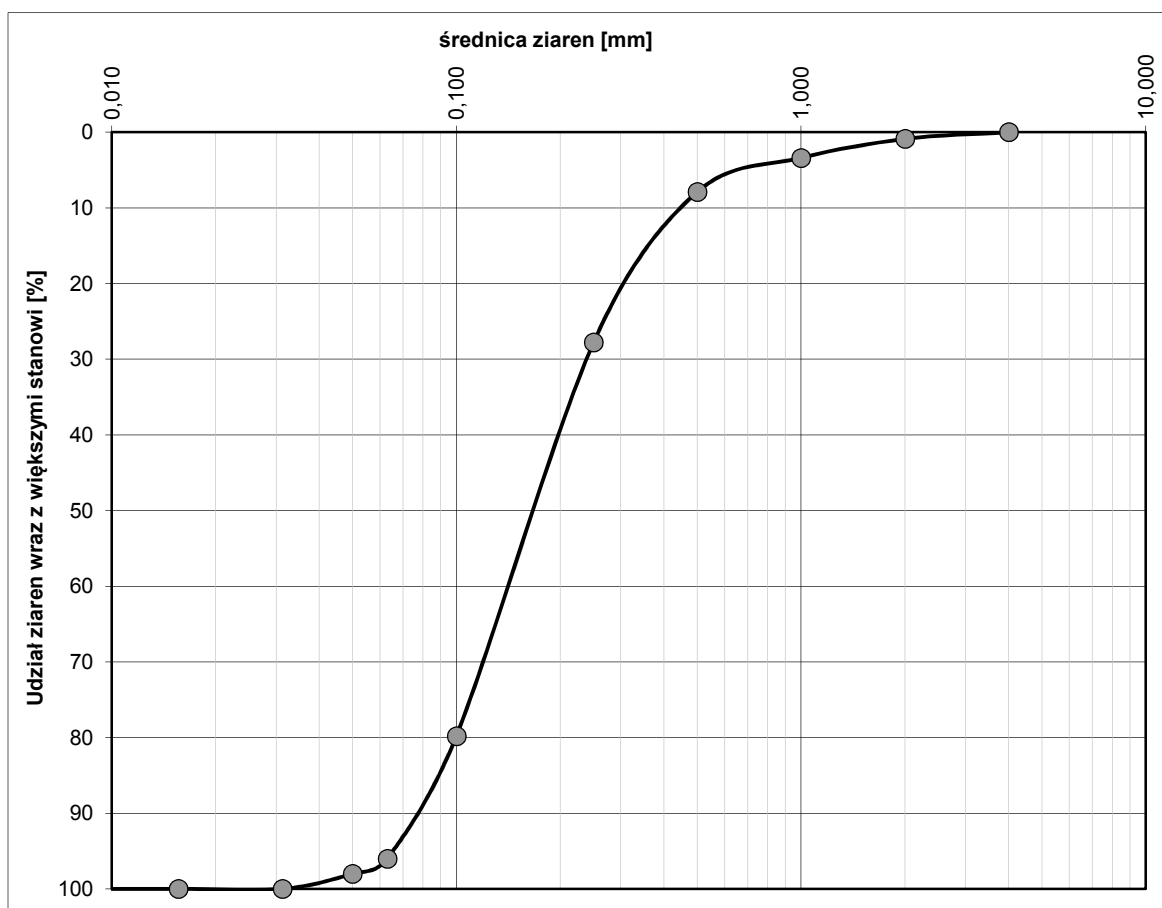
ANALIZA UZIARNIENIA GRUNTU WG PN - EN 1997-2
Świnoujście, infrastruktura węzła przesiadkowego
Otwór nr 11
 3,0 m p.p.t.

FSa (piasek drobny)

Średnica ziarn	udział	suma pr.		
[mm]	%	%%	frakcje	
			d60	0,200
			d20	0,100
	4,000	0		
4,00	2,000	0,9	żwirowa	d10 0,080
2,000 -	1,000	2,5		
1,000 -	0,500	4,5		
0,500 -	0,250	19,9		
0,250 -	0,100	52,0		
0,100 -	0,063	16,2	piaskowa	
0,063 -	0,050	2,0		
0,050 -	0,031	2,0		
0,031 -	0,016	0,0		
0,016 -	0,008	0,0	pyłowa	
0,008 -	0,004	0,0		
0,004 -	0,002	0,0		
0,002 -	0,000	0,0	iłowa	

U = 2,50

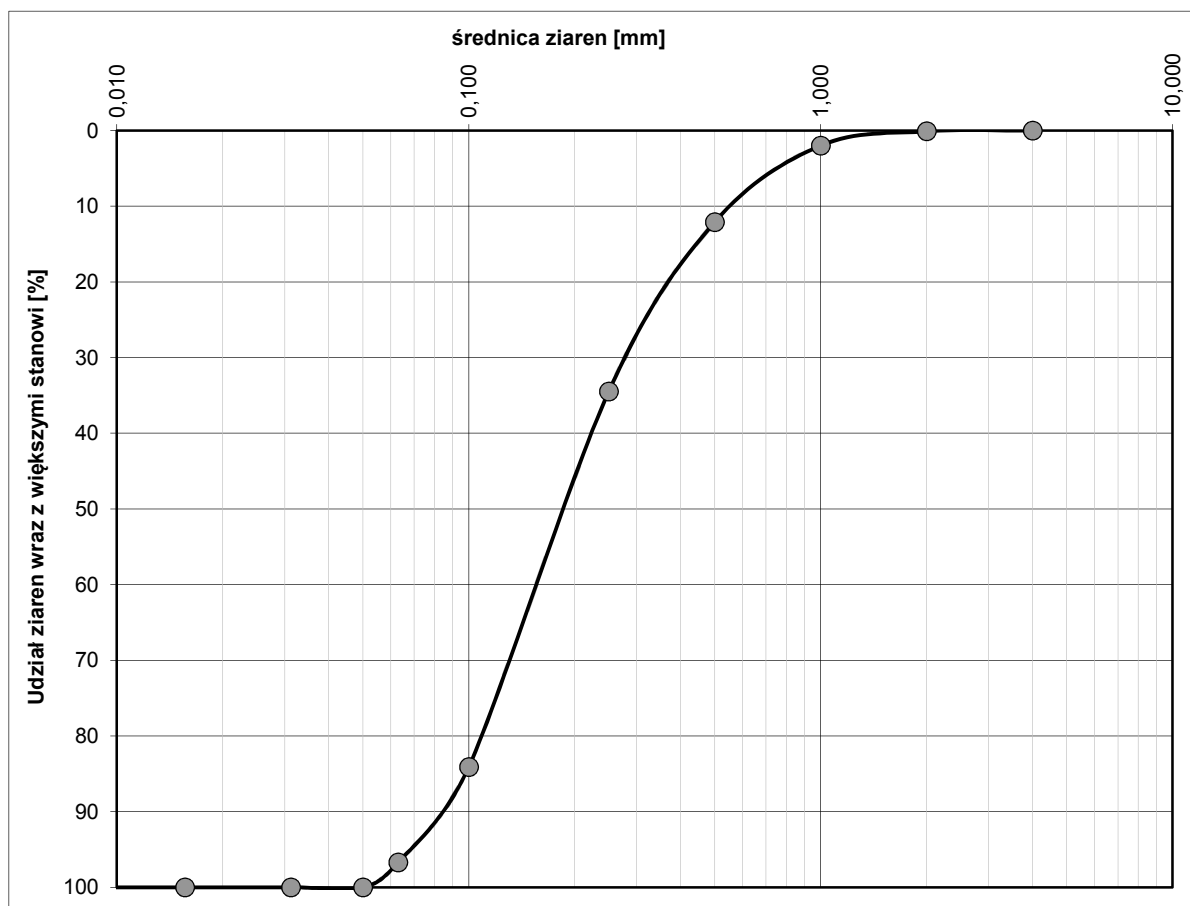
k= 7,45 m/d



ANALIZA UZIARNIENIA GRUNTU WG PN - EN 1997-2
Świnoujście, infrastruktura węzła przesiadkowego
Otwór nr 14
 3,5 m p.p.t.

FSa (piasek drobny)

Średnica ziarn	udział	suma pr.		
[mm]	%	%%	frakcje	
			d60	0,225
			d20	0,105
4,000	0	0,0		
4,000 - 2,000	0,1	0,1	żwirowa	d10
2,000 - 1,000	1,9	2,0		0,085
1,000 - 0,500	10,1	12,1		
0,500 - 0,250	22,4	34,5		U = 2,65
0,250 - 0,100	49,6	84,1		
0,100 - 0,063	12,6	96,7	piaskowa	
0,063 - 0,050	3,3	100,0		
0,050 - 0,031	0,0	100,0		k= 7,95 m/d
0,031 - 0,016	0,0	100,0		
0,016 - 0,008	0,0	100,0	pyłowa	
0,008 - 0,004	0,0	100,0		
0,004 - 0,002	0,0	100,0		
0,002 - 0,000	0,0	100,0	iłowa	



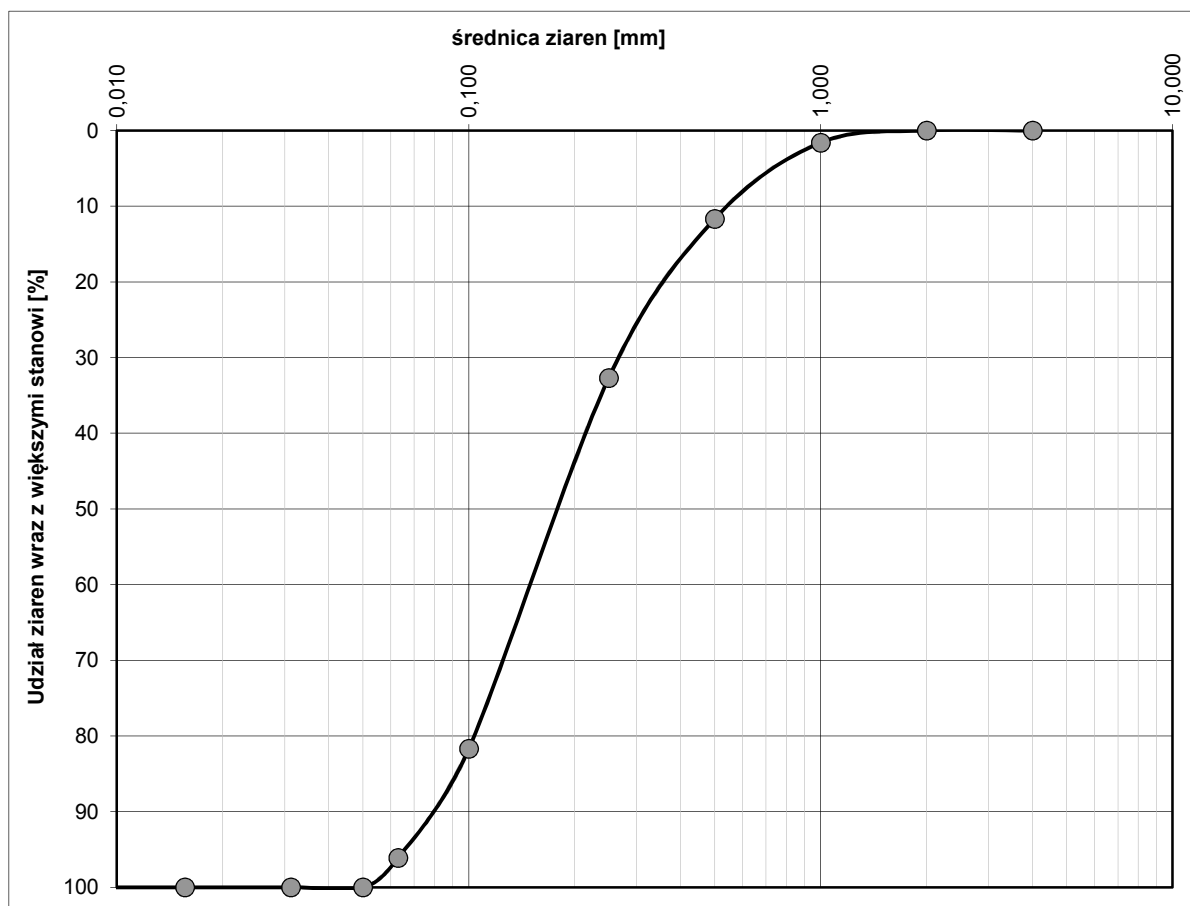
ANALIZA UZIARNIENIA GRUNTU WG PN - EN 1997-2
Świnoujście, infrastruktura węzła przesiadkowego
Otwór nr 16
 4,0 m p.p.t.

FSa (piasek drobny)

Średnica ziarn	udział	suma pr.		
[mm]	%	%%	frakcje	
			d60	0,205
			d20	0,100
4,000	0	0,0		
4,000 - 2,000	0,0	0,0	żwirowa	d10
2,000 - 1,000	1,6	1,6		0,080
1,000 - 0,500	10,1	11,7		
0,500 - 0,250	21,0	32,7		
0,250 - 0,100	49,0	81,7		
0,100 - 0,063	14,4	96,1	piaskowa	
0,063 - 0,050	3,9	100,0		
0,050 - 0,031	0,0	100,0		
0,031 - 0,016	0,0	100,0		
0,016 - 0,008	0,0	100,0	pyłowa	
0,008 - 0,004	0,0	100,0		
0,004 - 0,002	0,0	100,0		
0,002 - 0,000	0,0	100,0	iłowa	

U = 2,56

k= 7,68 m/d



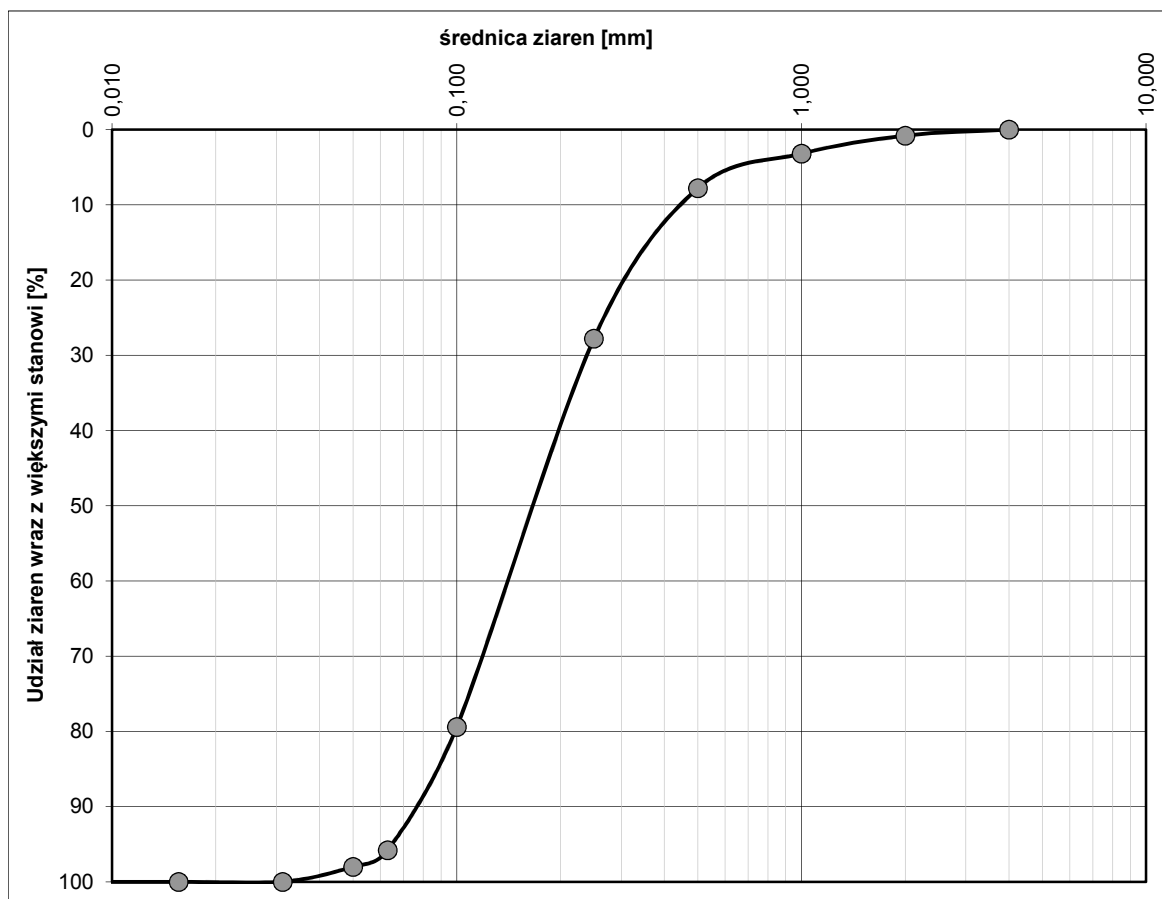
ANALIZA UZIARNIENIA GRUNTU WG PN - EN 1997-2
Świnoujście, infrastruktura węzła przesiadkowego
Otwór nr 19
 1,5 m p.p.t.

FSa (piasek drobny)

Średnica ziarn [mm]		udział %	suma pr. %%	frakcje	d60	0,200
					d20	0,100
	4,000	0	0			
4,00	2,000	0,8	0,8	żwirowa	d10	0,080
2,000 -	1,000	2,4	3,2			
1,000 -	0,500	4,6	7,8			
0,500 -	0,250	20,0	27,8			
0,250 -	0,100	51,6	79,4			
0,100 -	0,063	16,4	95,8	piaskowa		
0,063 -	0,050	2,2	98,0			
0,050 -	0,031	2,0	100,0			
0,031 -	0,016	0,0	100,0			
0,016 -	0,008	0,0	100,0	pyłowa		
0,008 -	0,004	0,0	100,0			
0,004 -	0,002	0,0	100,0			
0,002 -	0,000	0,0	100,0	iłowa		

U = 2,50

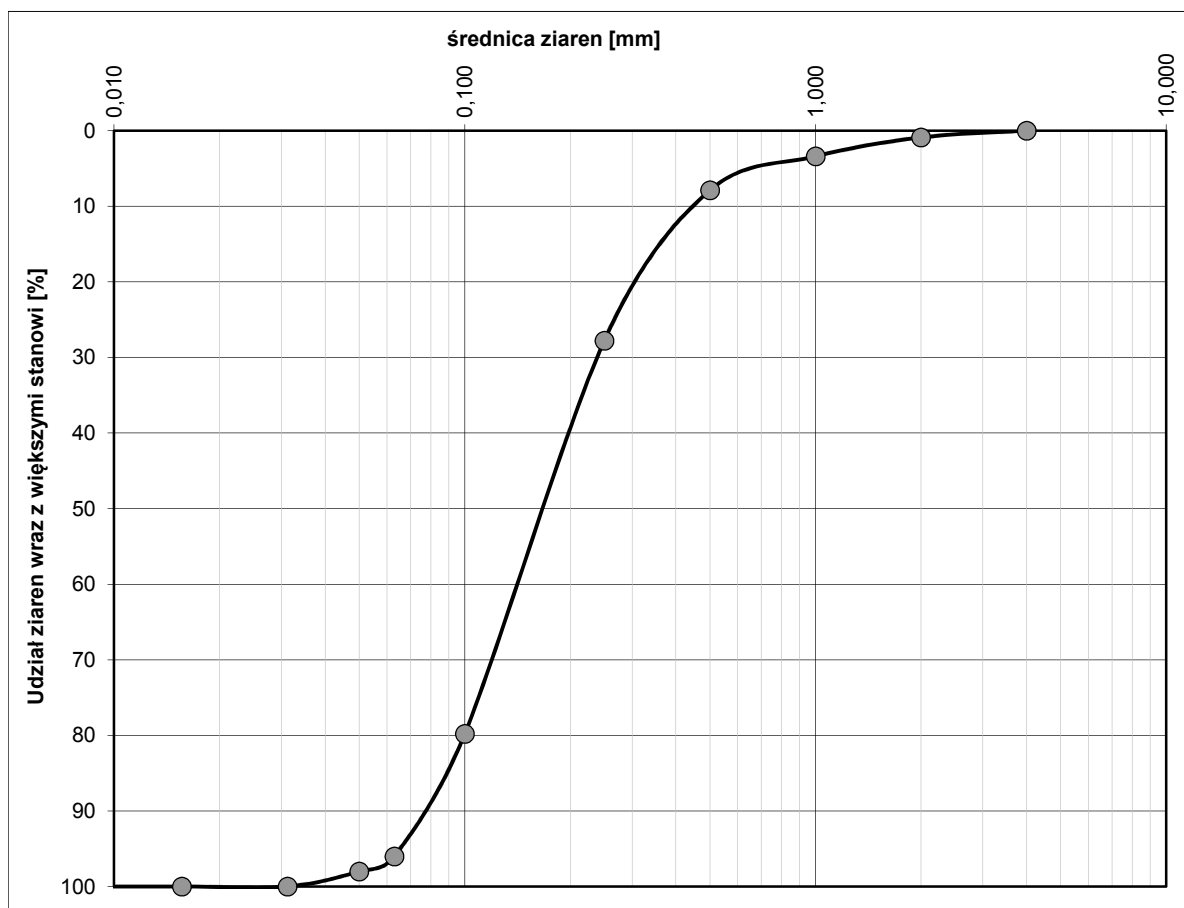
k= 7,32 m/d



ANALIZA UZIARNIENIA GRUNTU WG PN - EN 1997-2
Świnoujście, infrastruktura węzła przesiadkowego
Otwór nr 20
 2,0 m p.p.t.

FSa (piasek drobny)

Średnica ziarn	udział	suma pr.		
[mm]	%	%%	frakcje	
			d60	0,200
			d20	0,100
	4,000	0		
4,00	2,000	0,9	żwirowa	d10
2,000 -	1,000	2,5		0,080
1,000 -	0,500	4,5		
0,500 -	0,250	19,9		U = 2,50
0,250 -	0,100	52,0		
0,100 -	0,063	16,2	piaskowa	
0,063 -	0,050	2,0		
0,050 -	0,031	2,0		k= 7,45 m/d
0,031 -	0,016	0,0		
0,016 -	0,008	0,0	pyłowa	
0,008 -	0,004	0,0		
0,004 -	0,002	0,0		
0,002 -	0,000	0,0	iłowa	



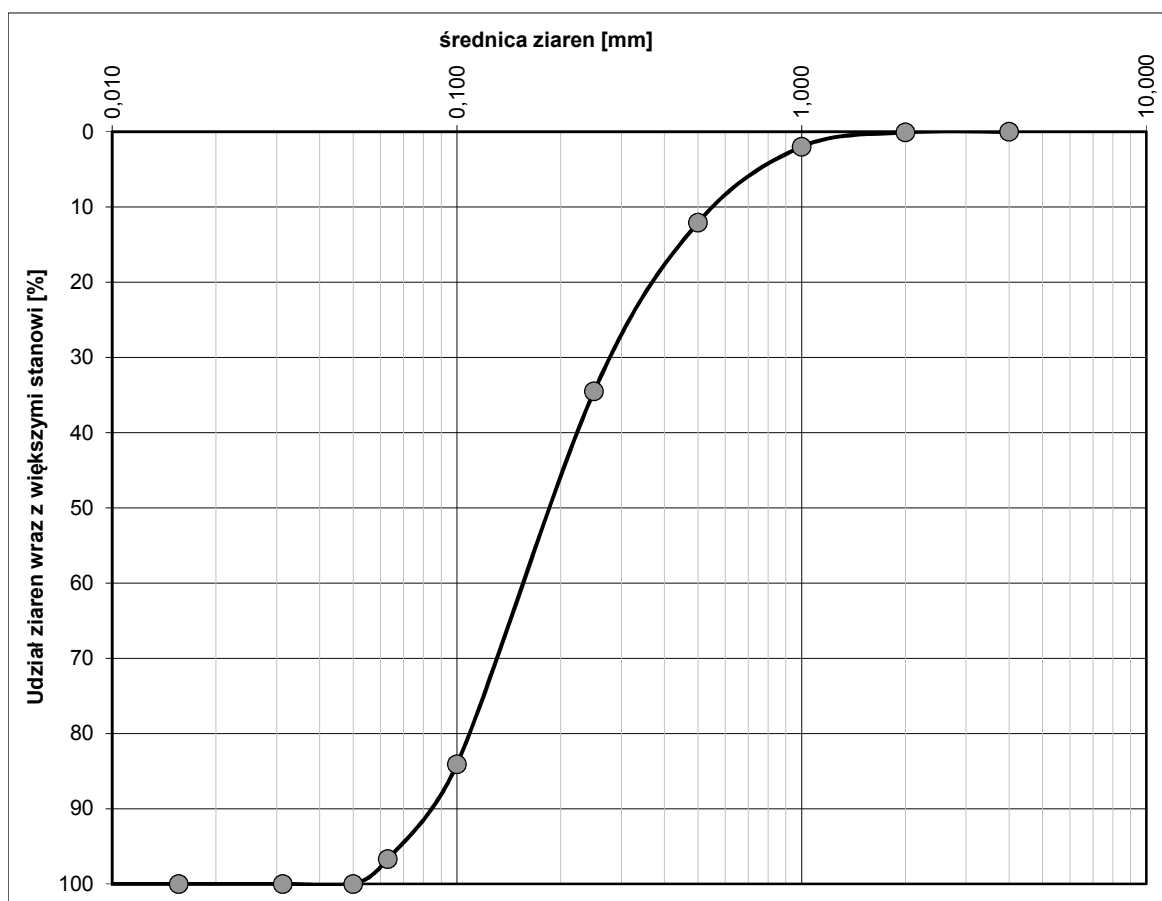
ANALIZA UZIARNIENIA GRUNTU WG PN - EN 1997-2
Świnoujście, infrastruktura węzła przesiadkowego
Otwór nr 21
 2,2 m p.p.t.

FSa (piasek drobny)

Średnica ziarn	udział	suma pr.	frakcje	d60	0,225
[mm]	%	%%			
	4,000	0		d20	0,105
4,00	2,000	0,1	żwirowa	d10	0,085
2,000 -	1,000	1,9			
1,000 -	0,500	10,1			
0,500 -	0,250	22,4			
0,250 -	0,100	49,6	piaskowa		
0,100 -	0,063	12,6			
0,063 -	0,050	3,3			
0,050 -	0,031	0,0			
0,031 -	0,016	0,0	pyłowa		
0,016 -	0,008	0,0			
0,008 -	0,004	0,0			
0,004 -	0,002	0,0			
0,002 -	0,000	0,0	iłowa		

U = 2,65

k= 8,12 m/d



ANALIZA UZIARNIENIA GRUNTU WG PN - EN 1997-2
Świnoujście, infrastruktura węzła przesiadkowego
Otwór nr 23
 1,8 m p.p.t.

FSa (piasek drobny)

Średnica ziarn	udział	suma pr.		
[mm]	%	%%		
	4,000	0		
4,00	2,000	0,6		
2,000 -	1,000	2,1		
1,000 -	0,500	4,7		
0,500 -	0,250	21,0		
0,250 -	0,100	50,7		
0,100 -	0,063	17,0		
0,063 -	0,050	2,4		
0,050 -	0,031	1,5		
0,031 -	0,016	0,0		
0,016 -	0,008	0,0		
0,008 -	0,004	0,0		
0,004 -	0,002	0,0		
0,002 -	0,000	0,0		

frakcje d60 0,200

d20 0,100

żwirowa d10 0,080

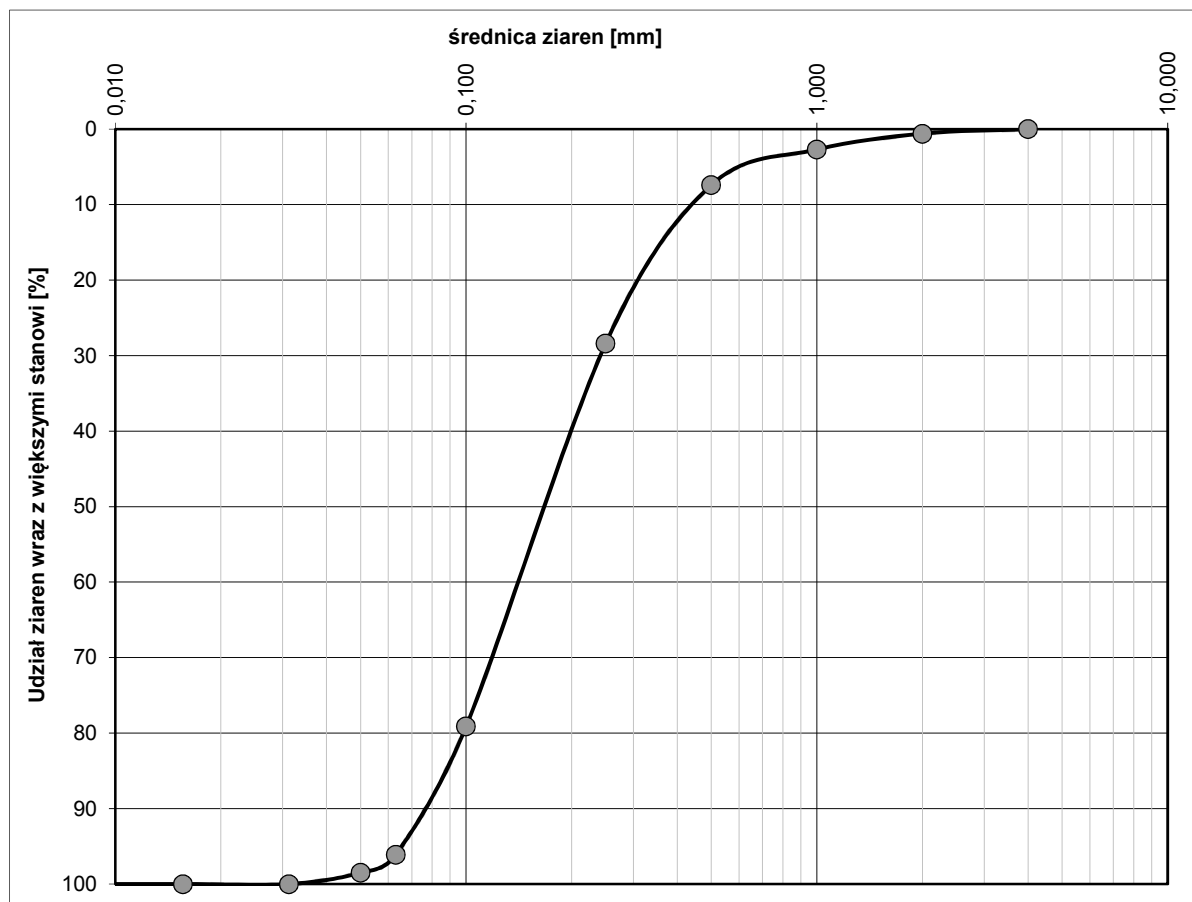
U = 2,50

k= 7,21 m/d

piaskowa

pyłowa

iłowa



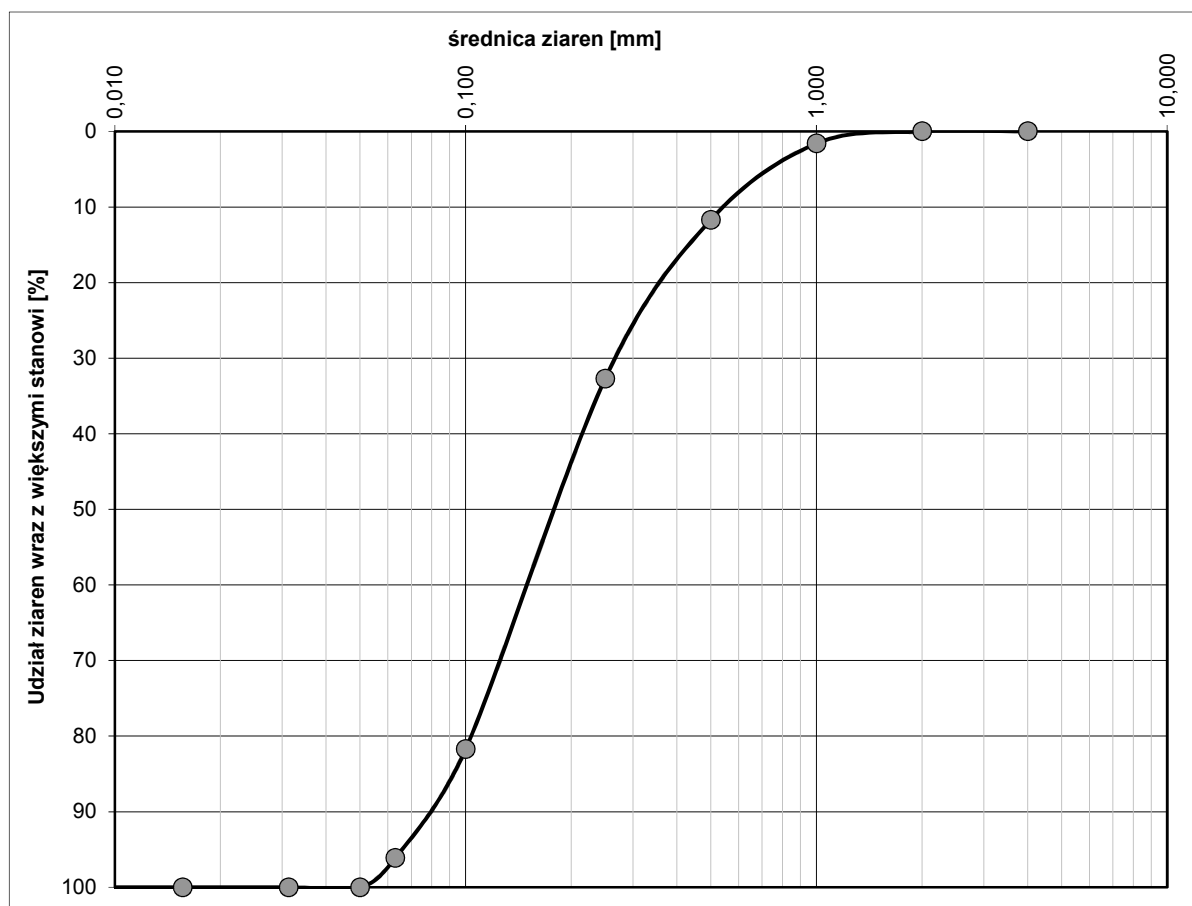
ANALIZA UZIARNIENIA GRUNTU WG PN - EN 1997-2
Świnoujście, infrastruktura węzła przesiadkowego
Otwór nr 25
 1,2 m p.p.t.

FSa (piasek drobny)

Średnica ziarn [mm]		udział %	suma pr. %%	frakcje	d60	0,205
					d20	0,100
	4,000	0	0			
4,00	2,000	0,0	0,0	żwirowa	d10	0,080
2,000 -	1,000	1,6	1,6			
1,000 -	0,500	10,1	11,7			
0,500 -	0,250	21,0	32,7			
0,250 -	0,100	49,0	81,7			
0,100 -	0,063	14,4	96,1	piaskowa		
0,063 -	0,050	3,9	100,0			
0,050 -	0,031	0,0	100,0			
0,031 -	0,016	0,0	100,0			
0,016 -	0,008	0,0	100,0	pyłowa		
0,008 -	0,004	0,0	100,0			
0,004 -	0,002	0,0	100,0			
0,002 -	0,000	0,0	100,0	iłowa		

U = 2,56

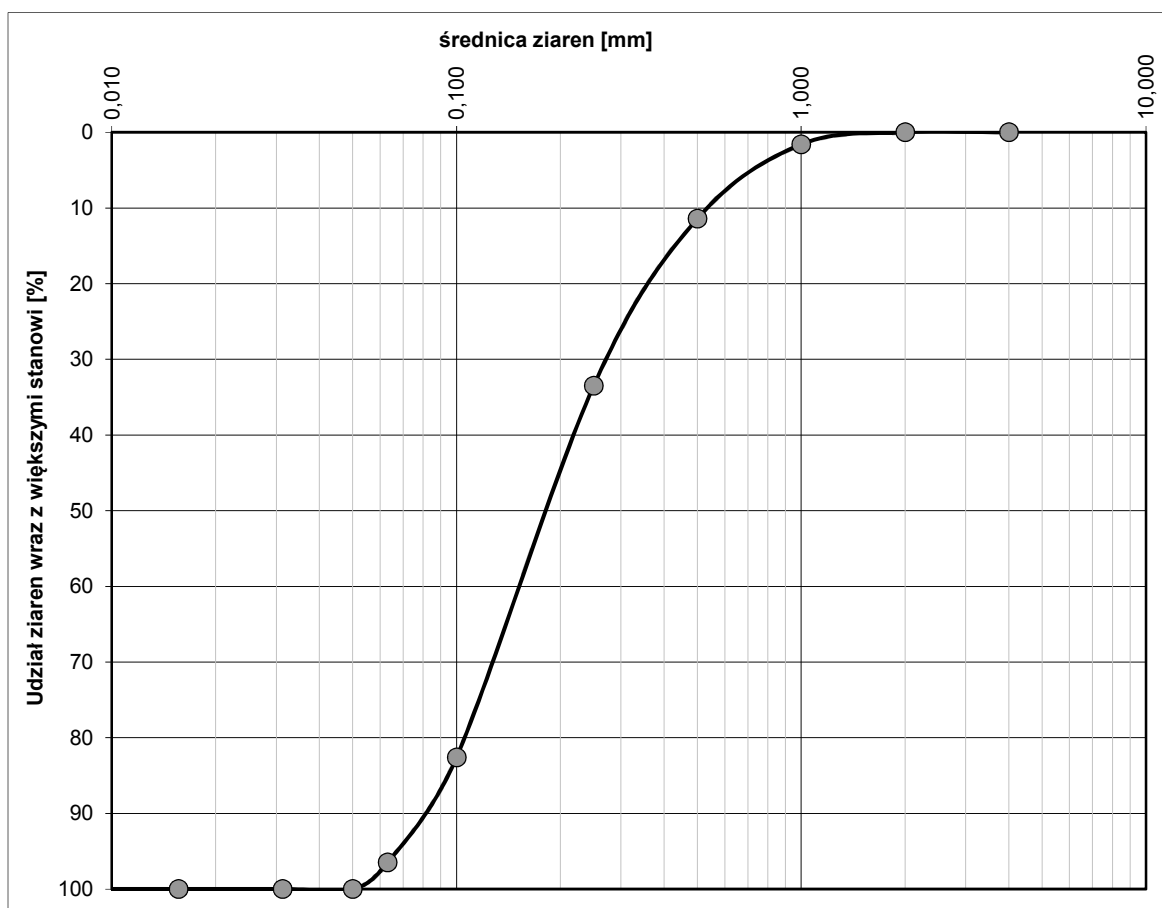
k= 7,55 m/d



ANALIZA UZIARNIENIA GRUNTU WG PN - EN 1997-2
Świnoujście, infrastruktura węzła przesiadkowego
Otwór nr 27
 2,5 m p.p.t.

FSa (piasek drobny)

Średnica ziarn	udział	suma pr.		
[mm]	%	%%	frakcje	
	4,000	0	d60	0,220
			d20	0,110
4,00	2,000	0,0	żwirowa	d10
2,000 -	1,000	1,6		0,080
1,000 -	0,500	9,8		
0,500 -	0,250	22,1		U = 2,75
0,250 -	0,100	49,1		
0,100 -	0,063	13,9	piaskowa	
0,063 -	0,050	3,5		
0,050 -	0,031	0,0		k= 7,78 m/d
0,031 -	0,016	0,0		
0,016 -	0,008	0,0	pyłowa	
0,008 -	0,004	0,0		
0,004 -	0,002	0,0		
0,002 -	0,000	0,0	iłowa	



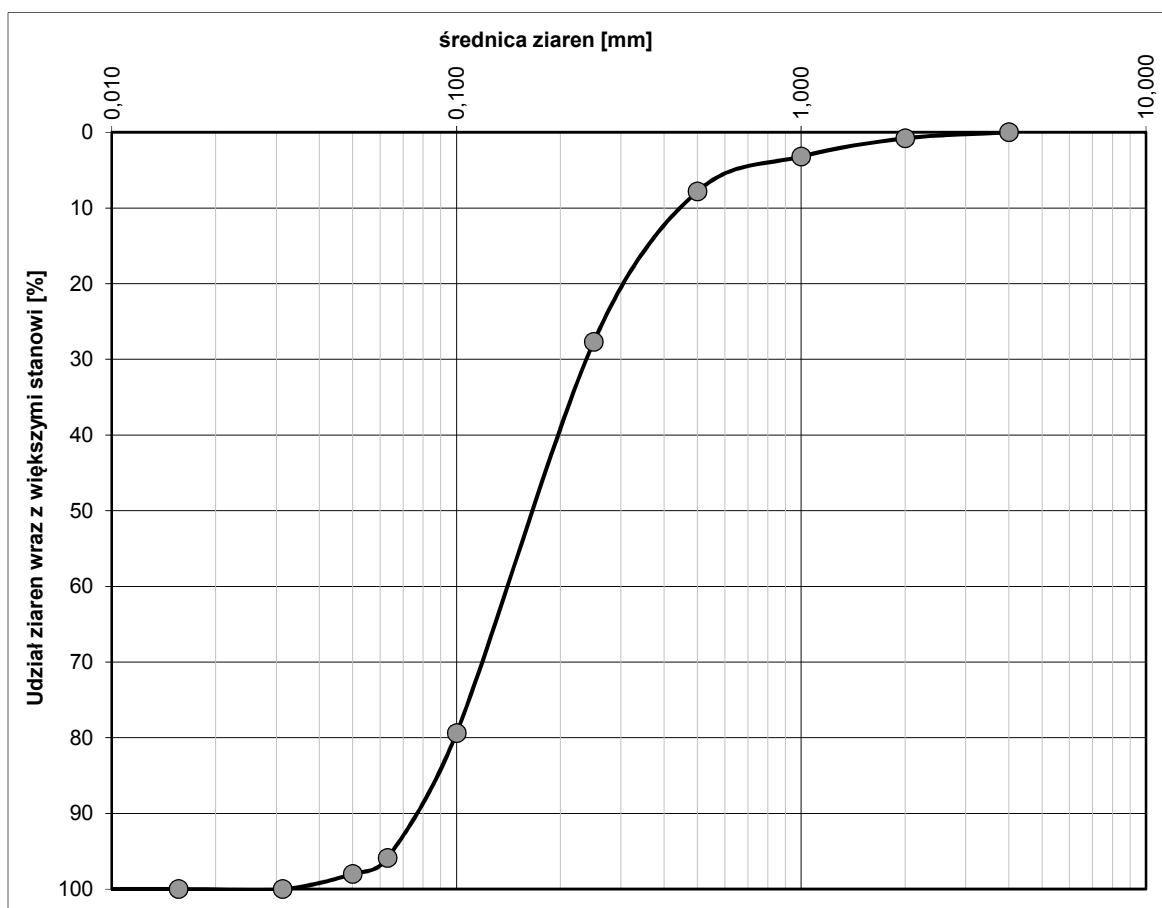
ANALIZA UZIARNIENIA GRUNTU WG PN - EN 1997-2
Świnoujście, infrastruktura węzła przesiadkowego
Otwór nr 28
 3,0 m p.p.t.

FSa (piasek drobny)

Średnica ziarn	udział	suma pr.	frakcje	d60	
[mm]	%	%%			
	4,000	0		0,200	
				d20	0,100
4,000	2,000	0,8	żwirowa	d10	0,080
2,000 -	1,000	2,4			
1,000 -	0,500	4,6			
0,500 -	0,250	19,9			
0,250 -	0,100	51,7			
0,100 -	0,063	16,5	piaskowa		
0,063 -	0,050	2,1			
0,050 -	0,031	2,0			
0,031 -	0,016	0,0			
0,016 -	0,008	0,0	pyłowa		
0,008 -	0,004	0,0			
0,004 -	0,002	0,0			
0,002 -	0,000	0,0	iłowa		

U = 2,50

k= 7,32 m/d



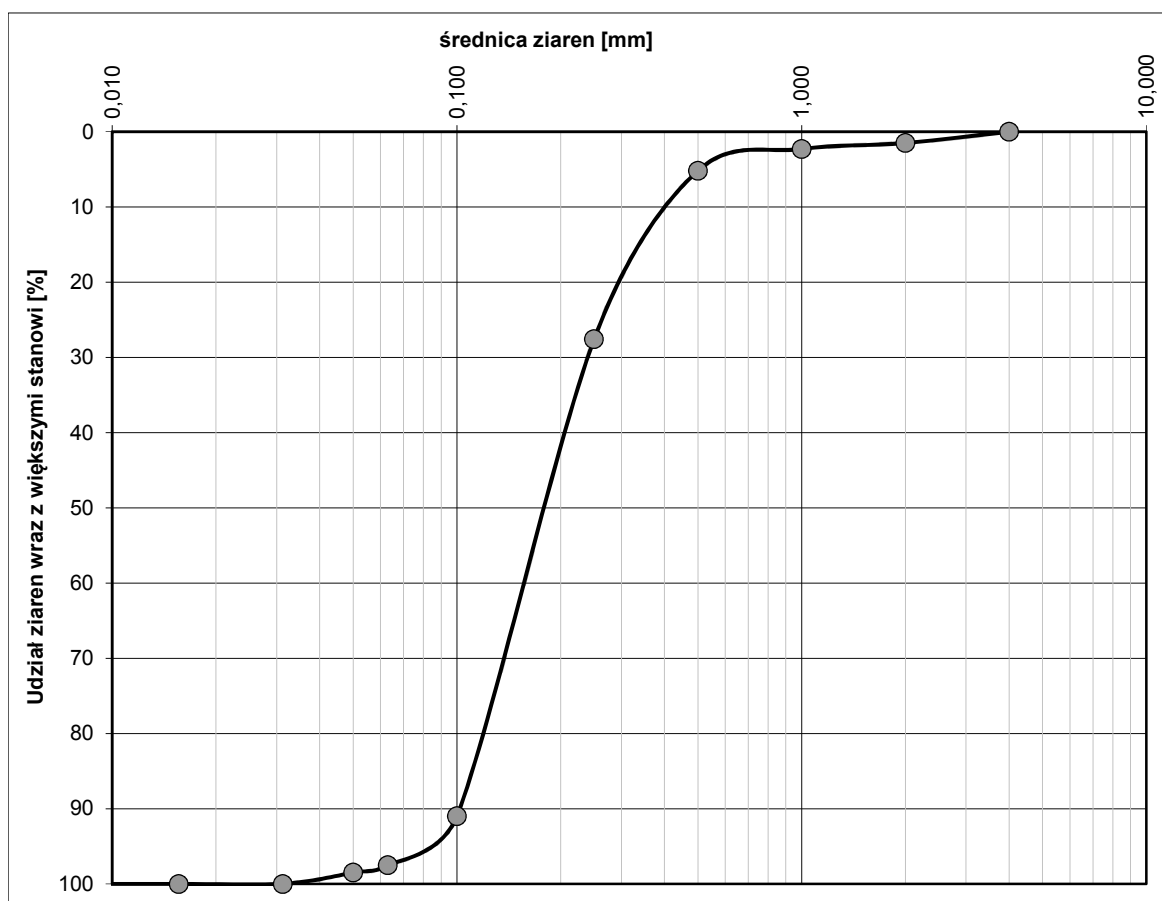
ANALIZA UZIARNIENIA GRUNTU WG PN - EN 1997-2
Świnoujście, infrastruktura węzła przesiadkowego

Otwór nr 30

1,5 m p.p.t.

FSa (piasek drobny)

Średnica ziarn	udział	suma pr.		
[mm]	%	%%	frakcje	
	4,000	0	d60	0,200
			d20	0,125
4,00	2,000	1,5	żwirowa	d10
2,000 -	1,000	0,8		0,100
1,000 -	0,500	2,9		
0,500 -	0,250	22,4		U = 2,00
0,250 -	0,100	63,4		
0,100 -	0,063	6,5	piaskowa	
0,063 -	0,050	1,0		
0,050 -	0,031	1,5		k= 6,34 m/d
0,031 -	0,016	0,0		
0,016 -	0,008	0,0	pyłowa	
0,008 -	0,004	0,0		
0,004 -	0,002	0,0		
0,002 -	0,000	0,0	iłowa	



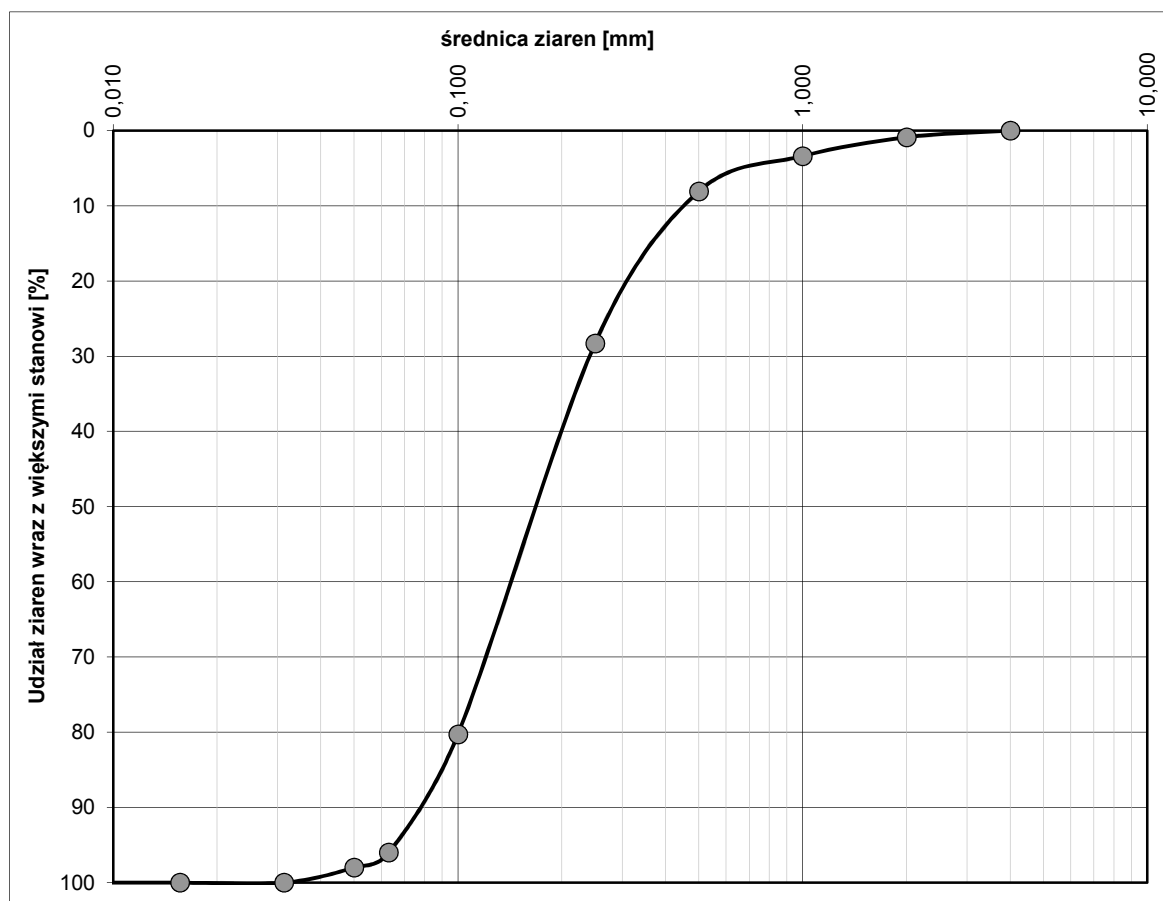
ANALIZA UZIARNIENIA GRUNTU WG PN - EN 1997-2
Świnoujście, infrastruktura węzła przesiadkowego
Otwór nr 32
 2,5 m p.p.t.

FSa (piasek drobny)

Średnica ziarn [mm]		udział %	suma pr. %%	frakcje	d60	0,200
					d20	0,100
	4,000	0	0			
4,00	2,000	0,9	0,9	żwirowa	d10	0,080
2,000 -	1,000	2,5	3,4			
1,000 -	0,500	4,7	8,1			
0,500 -	0,250	20,2	28,3			
0,250 -	0,100	52,0	80,3			
0,100 -	0,063	15,7	96,0	piaskowa		
0,063 -	0,050	2,0	98,0			
0,050 -	0,031	2,0	100,0			
0,031 -	0,016	0,0	100,0			
0,016 -	0,008	0,0	100,0	pyłowa		
0,008 -	0,004	0,0	100,0			
0,004 -	0,002	0,0	100,0			
0,002 -	0,000	0,0	100,0	iłowa		

U = 2,50

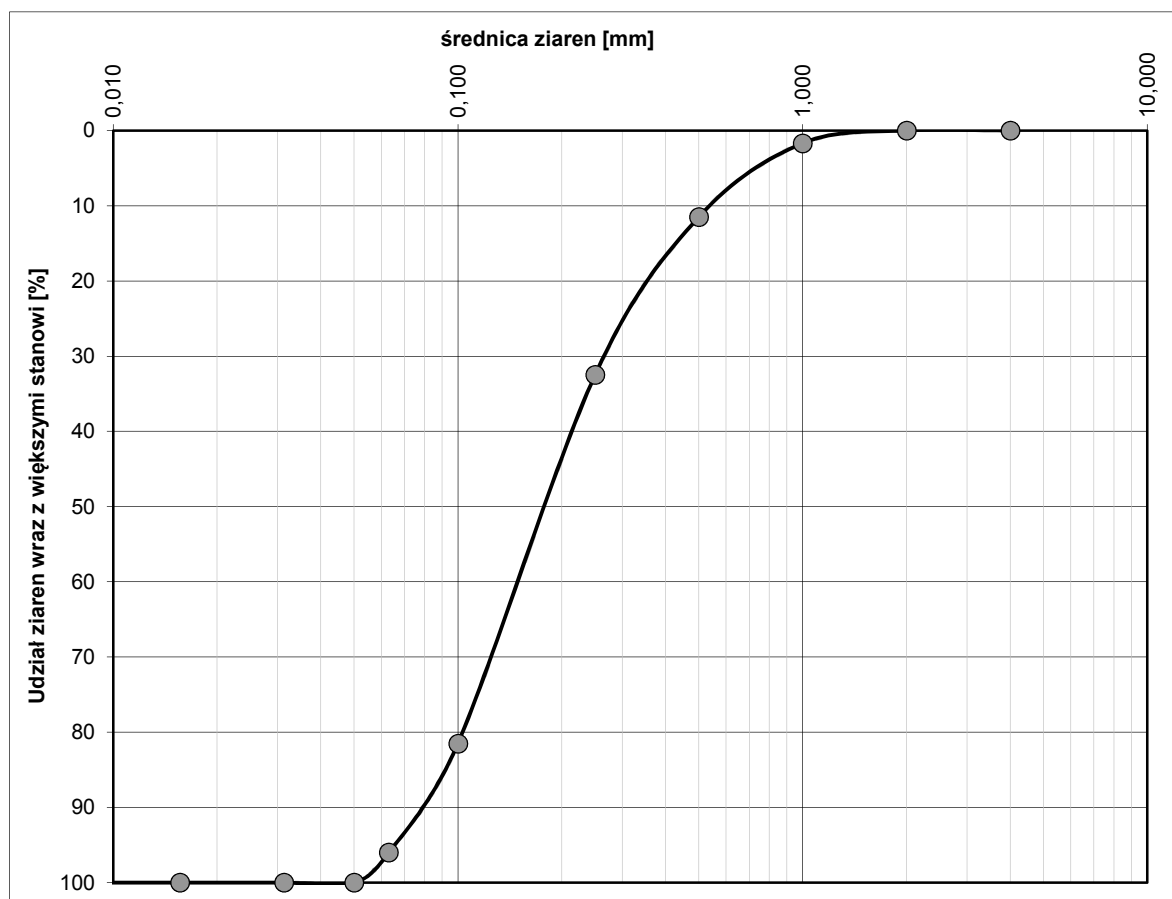
k= 7,07 m/d



ANALIZA UZIARNIENIA GRUNTU WG PN - EN 1997-2
Świnoujście, infrastruktura węzła przesiadkowego
Otwór nr 36
 2,2 m p.p.t.

FSa (piasek drobny)

Średnica ziarn	udział	suma pr.		
[mm]	%	%%	frakcje	
			d60	0,205
			d20	0,100
	4,000	0		
4,00	2,000	0,0	żwirowa	d10
2,000 -	1,000	1,7		0,080
1,000 -	0,500	9,8		
0,500 -	0,250	21,0		U = 2,56
0,250 -	0,100	49,0		
0,100 -	0,063	14,5	piaskowa	
0,063 -	0,050	4,0		
0,050 -	0,031	0,0		k= 7,39 m/d
0,031 -	0,016	0,0		
0,016 -	0,008	0,0	pyłowa	
0,008 -	0,004	0,0		
0,004 -	0,002	0,0		
0,002 -	0,000	0,0	iłowa	



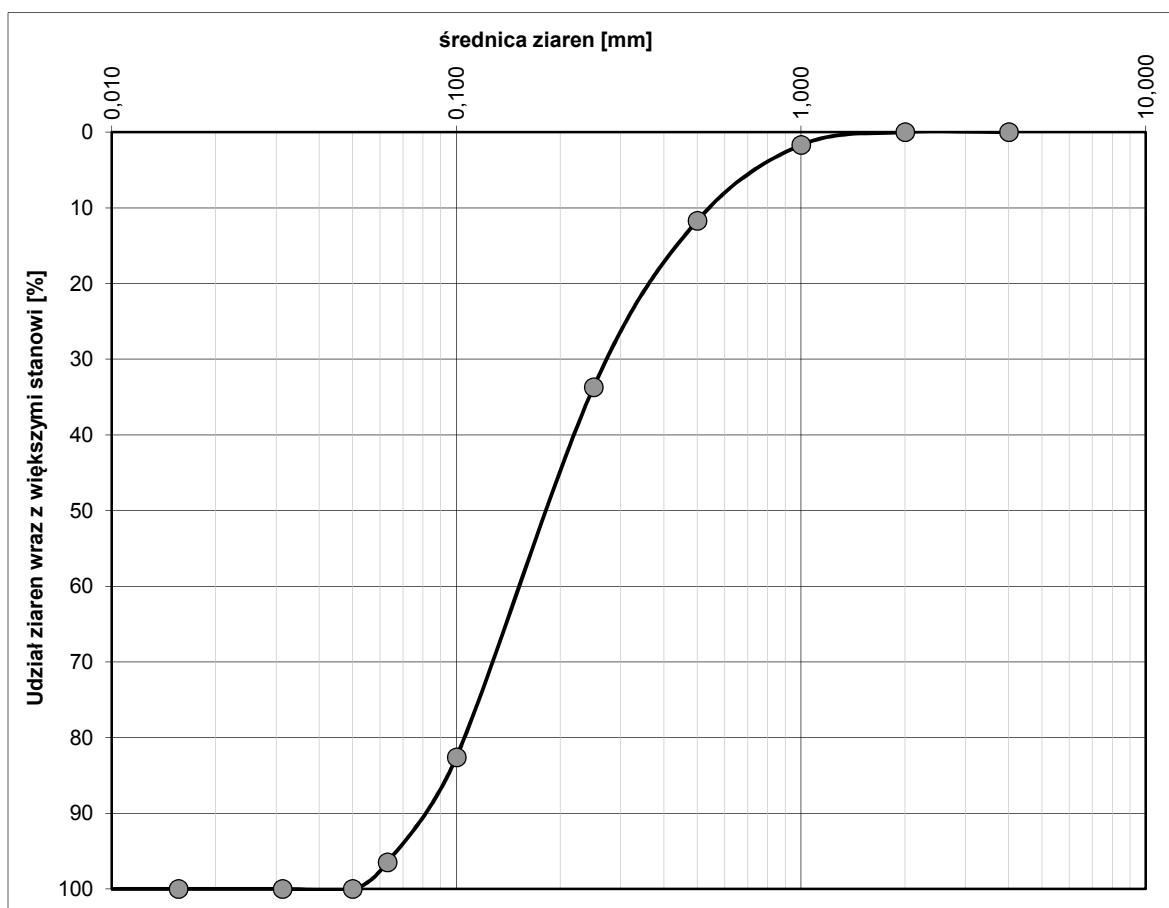
ANALIZA UZIARNIENIA GRUNTU WG PN - EN 1997-2
Świnoujście, infrastruktura węzła przesiadkowego
Otwór nr 38
 2,6 m p.p.t.

FSa (piasek drobny)

Średnica ziarn	udział	suma pr.		
[mm]	%	%%	frakcje	
			d60	0,220
			d20	0,110
4,000	0	0,0		
4,000 - 2,000	0,0	0,0	żwirowa	d10
2,000 - 1,000	1,7	1,7		0,080
1,000 - 0,500	10,0	11,7		
0,500 - 0,250	22,0	33,7		
0,250 - 0,100	48,9	82,6		
0,100 - 0,063	13,9	96,5	piaskowa	
0,063 - 0,050	3,5	100,0		
0,050 - 0,031	0,0	100,0		
0,031 - 0,016	0,0	100,0		
0,016 - 0,008	0,0	100,0	pyłowa	
0,008 - 0,004	0,0	100,0		
0,004 - 0,002	0,0	100,0		
0,002 - 0,000	0,0	100,0	iłowa	

U = 2,75

k= 7,44 m/d



ANALIZA UZIARNIENIA GRUNTU WG PN - EN 1997-2
Świnoujście, infrastruktura węzła przesiadkowego
Otwór nr 39
 1,8 m p.p.t.

FSa (piasek drobny)

Średnica ziarn [mm]		udział %	suma pr. %%	frakcje	d60	0,200
					d20	0,100
	4,000	0	0			
4,00	2,000	0,9	0,9	żwirowa	d10	0,080
2,000 -	1,000	2,5	3,4			
1,000 -	0,500	4,8	8,2			
0,500 -	0,250	20,1	28,3			
0,250 -	0,100	52,0	80,3			
0,100 -	0,063	15,6	95,9	piaskowa		
0,063 -	0,050	2,1	98,0			
0,050 -	0,031	2,0	100,0			
0,031 -	0,016	0,0	100,0			
0,016 -	0,008	0,0	100,0	pyłowa		
0,008 -	0,004	0,0	100,0			
0,004 -	0,002	0,0	100,0			
0,002 -	0,000	0,0	100,0	iłowa		

U = 2,50

k= 7,16 m/d

